# Applications

COMMANDE ANALOGIQUE

commande à base de régulateurs de type Proportionnel Intégral Dérivé (PID) On se propose, dans ce chapitre, d'introduire quelques notions de base sur le problème de la commande analogique de systèmes continus monovariables. En particulier, on va s'intéresser à la La commande PID a une grande importance sur le plan historique, mais aussi sur le plan pratique, car

sente, encore de nos jours, dans la plupant des installations industrielles automatisées (actuellement

il s'agit pour une grande part de PID numériques, mais le principe reste le même). Son succès s'explique par son importance historique, mais aussi par sa simplicifé (facile à implanter, sous forme dectronique ou logicielle, facile à comprendre, donc à maintenir et à régler) et son efficacité dans de nombreux cas. Toutefois, il ne faut pas perdre de vue le fait qu'il est mal adapté dans certaines situations (systèmes à retard important, à non-minimum de phase, oscillants, ...).

Que ce soit en analogique ou en numérique, la théorie moderne de la commande, basée sur l'utilisation de la représentation d'état des systèmes, va bien au delà de la commande PID. Elle offre un éventail de stratégies différentes, plus complexes, mais plus performantes, et adaptées aux situations problématiques que l'on peut rencontrer, tout en prenant en compte le cas des systèmes multivariables et la présence de bruit. La commande moderne sort donc du cadre de ce cours, dans lequel on se et la présence de bruit. La commande moderne sort donc du cadre de ce cours, dans lequel on se contente d'explorer les concepts de base, qui plus est, du point de vue monovariable uniquement.

La commande ("control" en anglais) d'un système vise en premier lieu à amener une variable

l'installation autour d'une valeur donnée appelée consigne.
On distingue la commande manuelle, avec intervention humaine. Exemples : on cherche à conduire un Oh distingue la commande manuelle, avec intervention humaine. Exemples : on cherche à une véhicule vers une destination donnée en toute sécurité, ou à régler la température de la douche à une température de confort. Et la commande automatique, assurée à l'aide d'apparelliages. Exemples : régulation de température d'une pièce pilotée par un thermostat, régulation de la vitesse de rotation d'un moieur en charge à l'aide d'un régulateur de vitesse, etc.

mesure du signal de sortie. Exemples : positionner a priori les robinets d'eau chaude et d'eau froide pour préparer le bain, régler a priori la temporisation du grille-pain. Le résultat est tributaire de certains paramètres non maîtrisés (perturbations) comme la constance de la tº de l'eau chaude, l'épaisseur ou La commande en Boucle Ouverte consiste à ajuster le signal de commande sans tenir compte de la

M. Tomczak - csiał

### **Applications**

# Cde en BF, généralités (suite)

s'agit d'une grandeur électrique, qui peut être obtenue à l'aide d'un transducteur (ex. : potentiomètre) Le signal de consigne, ou de référence, doit être de même nature que le signal de retour, en général il

transducteu F(s) 3 correcteur capteur (S) capteur soient identiques F(s) = H(s), auquel cas, est ramené à un système à retour unitaire : Il n'est pas rare que les FT du transducteur et du capteur soient identiques F(s) = H(s), auquel cas, on ± ±(s) correcteur

Le **régulateur a** pour objet d'élaborer un signal de **commande** adéquat à partir du signal d**'erreur** ou **écart de réglage**, qu'il tente d'annuler. L'écart est obtenu par **comparaison** de la consigne avec la sortie ou une mesure de la sortie.

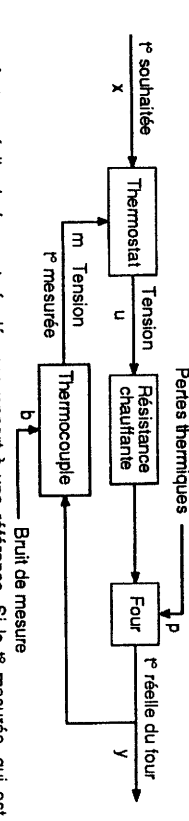
transduct. régulateur "RST" 1/R(s) S(s) capteur

représentée ci-contre. lieu de l'erreur. Une telle structure de régulateur, plus générale, est correcteur, peut avoir une structure plus complexe, en particulier, il peut agir directement sur la mesure au Le regulateur, appele aussi

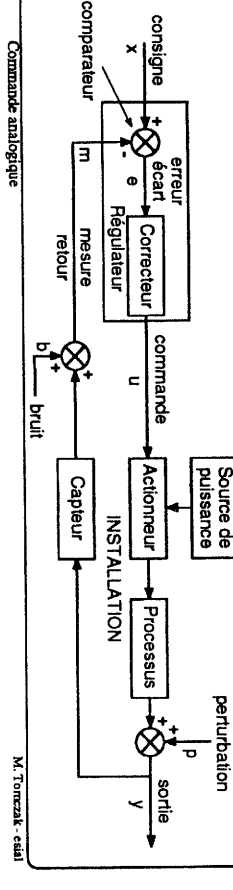
œuvre des commandes particulières qui les prennent en compte (commande par anticipation "feedforward"). On les modélise sous forme d'actions additives (ou soustractives) sur la sortie etc. Les perturbations peuvent être mesurées ou non, lorsqu'elles sont mesurées, on peut mettre en vitesse du moteur d'entraînement, ensoleillement pour la régulation de température dans une voiture, bon fonctionnement du système. Exemples : ouverture intempestive de la porte du four précédent, pression du réseau pour une régulation de débit d'eau, charge sur un convoyeur pour la régulation de capteur. Les perturbations sont les grandeurs dont les variations plus ou moins aléatoires nuisent au formant l'installation ou le processus. Suivant les cas, l'installation peut également comprendre La commande agit sur la système par l'intermédiaire d'un actionneur, l'ensemble actionneur/système la commande agit sur la système par l'intermédiaire d'un actionneur, l'ensemble actionneur/système la commande agit sur la système par l'intermédiaire d'un actionneur, l'ensemble actionneur/système

## Applications Cde en Boucle Fermée, généralités

ajuster la variable de commande. Exemple : régulation de la température d'un four La commande en Boucle Fermée ("feedback control") consiste à mesurer la variable de sortie pour



La température réelle du four est régulée par rapport à une référence. Si la t° mesurée, qui est une tension approximativement proportionnelle à la t° réelle, est inférieure à la t° souhaitée, le thermostat va est multiple. L'exemple précédent nous conduit au schéma fonctionnel général suivant contrairement à ce qui se passe en boucle ouverte, la commande en boucle fermée permet de lutter contre l'effet néfaste des perturbations. En fait, comme on le verra dans la suite, l'intérêt du bouclage ajuster à la hausse la tension d'alimentation de la résistance chauffante, et vice versa. Ainsi, contrairement à ce qui se passe en boucle ouverte, la commande en boucle fermée permet de lutter



Applications Cde en BF, généralités (suite)

Le bruit constitue une perturbation particulière, qui peut être prise en compte si ses caractéristiques statistiques sont connues, mais cela suppose de recourir à une stratégie de commande stochastique. Si le Rapport Signal sur Bruit est suffisamment élevé, on peut négliger le bruit et se contenter d'une commande déterministe. Un exemple courant de bruit affectant les systèmes de commande est celui engendré par le milieu de mesure.

L'indication de la valeur de sortie, et donc le signal d'erreur, dépendent directement du comportement statique et dynamique du capteur, celui-ci influe, par conséquent, de taçon déterminante sur les performances du système automatisé. Dans de nombreux cas pratiques, la FT du capteur est du type thermocouple (2e ordre apériodique), dynamo tachymétrique (gain Kt). constantes de temps du système automatique, 1er ou 2 ème ordre, mais, si les constantes de temps du capteur sont petites par rapport aux autres constantes de temps du système automatique, on est ramené à un simple gain. Exemples :

# Objectifs de la commande en boucle fermée :

- □Stabiliser un système instable en Boucle Ouverte (ex. : navire soumis au courant), ou simplement ☐ Ajuster le signal de commande de manière à annuler l'écart entre consigne et sortie (précision).
- garantir un bon amortissement du système bouclé (stabilité).
- □ Améliorer le temps de réaction du système par rapport à la commande en BO (rapidité)
- ☐ Eviter de transmettre les bruits de capteurs aux actionneurs, donc aux sorties. □ Rejeter les perturbations externes non-mesurées, compenser les perturbations externes mesurées
- prendre en compte les incertitudes internes (modèle du système, non-linéarités, vieillissement conséquences sur la stabilité et sur les performances de la commande, minimiser la sensibilité du caractéristiques des perturbations et bruits, etc.), de façon à compenser d'éventuelles système à des variations de paramètres (robustesse).
- □ Eviter des lois de commande trop brutales pour les actionneurs, trop coûteuses en énergie ou trop compliquées à mettre en œuvre.
- sollicitation (consigne ou perturbation) donnée

□ Conférer au système des caractéristiques imposées, par exemple,

la forme

de

la réponse à une

## **Applications** Cde en BF, généralités (fin)

Femarque: Les objectifs poursuivis sont multiples, et certains sont antagonistes (ex. : dilemmes stabilité/précision et amortissement/rapidité). Il s'agit alors d'assurer le meilleur compromis possible. C'est la recherche du compromis entre précision et dynamique satisfaisante (rapidité et amortissement) qui a conduit originellement à la commande de type PID.

De manière générale, on dit aussi qu'un bon système de commande doit assurer simultanément deux fonctions distinctes : la régulation et l'asservissement.

La régulation consiste à rejeter ou compenser l'effet, sur la sortie, des perturbations, et ce, en régime permanent, c'est à dire pour une consigne fixe ou variant le ntement par rapport aux constantes de temps du système (Ex.: alimentation courant ou tension stabilisée, pilote automatique d'avion...).
Au contraire, le problème de l'asservissement est la poursuite, par la sortie, d'une consigne qui évolue constamment. Dans ce cas, le correcteur est parfois appelé servomécanisme (Ex.: table traçante,

radar de poursuite, ...)

# Avantages sur la commande en Boucle Ouverte :

Compensation de perturbations (exemple):

$$X(s) \longrightarrow K \longrightarrow G(s) \xrightarrow{t} Y(s)$$
Ampli. Syst.

En B.O. : Y(s) = K.G(s).X(s) + P(s)

En l'absence de perturbation, on s'arrange pour que le gain de l'ensemble KG(0)=1. En régime permanent, on a alors bien y=x. Mais dès qu'une perturbation surgit, la sortie est faussée d'autant

$$\underbrace{ \begin{array}{c} X(s) \neq \emptyset \\ X(s) \neq \emptyset \end{array} }_{K} \rightarrow \underbrace{ \begin{array}{c} K.G(s) \\ K.G(s) \end{array}}_{K} X(s) + \underbrace{ \begin{array}{c} 1 \\ 1+K.G(s) \end{array}}_{K}.P(s) \\ \text{si } [KG(s)] > 1 \longrightarrow 1 \\ \text{fet awec certaines} \\ \text{hypothèses sur } G(s)) \\ \end{array} }_{K} \underbrace{ \begin{array}{c} K.G(s) \\ 1+K.G(s) \end{array}}_{K}.X(s) + \underbrace{ \begin{array}{c} 1 \\ 1+K.G(s) \end{array}}_{K}.P(s) \\ \text{of the support } A(s) = \underbrace{ \begin{array}{c} K.G(s) \\ 1+K.G(s) \end{array}}_{K}.X(s) + \underbrace{ \begin{array}{c} 1 \\ 1+K.G(s) \end{array}}_{K}.P(s) \\ \text{of the support } A(s) = \underbrace{ \begin{array}{c} K.G(s) \\ 1+K.G(s) \end{array}}_{K}.X(s) + \underbrace{ \begin{array}{c} 1 \\ 1+K.G(s) \end{array}}_{K}.P(s) \\ \text{of the support } A(s) = \underbrace{ \begin{array}{c} K.G(s) \\ 1+K.G(s) \end{array}}_{K}.X(s) + \underbrace{ \begin{array}{c} 1 \\ 1+K.G(s) \end{array}}_{K}.X(s) + \underbrace{ \begin{array}{c} 1 \\ 1+K.G(s) \end{array}}_{K}.P(s) \\ \text{of the support } A(s) = \underbrace{ \begin{array}{c} K.G(s) \\ 1+K.G(s) \end{array}}_{K}.X(s) + \underbrace{ \begin{array}{c} 1 \\ 1+K.G(s) \end{array}}_{K}.P(s) \\ \text{of the support } A(s) = \underbrace{ \begin{array}{c} K.G(s) \\ 1+K.G(s) \end{array}}_{K}.X(s) + \underbrace{ \begin{array}{c} 1 \\ 1+K.G(s) \end{array}}_{K}.X(s) + \underbrace{ \begin{array}{c} 1 \\ 1+K.G(s) \end{array}}_{K}.P(s) \\ \text{of the support } A(s) = \underbrace{ \begin{array}{c} K.G(s) \\ 1+K.G(s) \end{array}}_{K}.X(s) + \underbrace{ \begin{array}{c} 1 \\$$

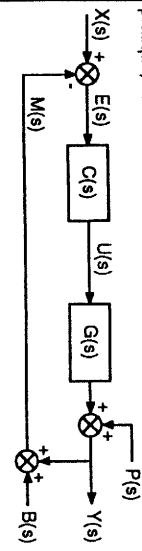
Commande analogique

M. Tomczak - esial

Commande analogique

# Applications Formulation générale du problème

Tentons à présent de généraliser les différents concepts introduits précédemment. Afin de simplifier les diverses expressions, on considère le cas d'un retour unitaire, auquel il est toujours possible, en pratique, de se ramener



transformées de Laplace du signal de commande et de la sortie totale s'obtiennent à l'aide Si l'on suppose la perturbation p(t) et le bruit b(t) non-nuls, les du principe de superposition

$$Y(s) = \frac{C(s)G(s)}{1 + C(s)G(s)}[X(s) - B(s)] + \frac{1}{1 + C(s)G(s)}P(s) \qquad U(s) = \frac{C(s)}{1 + C(s)G(s)}[X(s) - B(s) - P(s)]$$

On peut aussi en déduire la TL de l'erreur réelle  $\varepsilon(t) = x(t) - y(t)$  (NB :  $\varepsilon(t) \neq e(t)$ ) :

$$\varepsilon(s) = \frac{1}{1 + C(s)G(s)} [X(s) - P(s)] + \frac{C(s)G(s)}{1 + C(s)G(s)} B(s)$$

Quelques définitions :

Transfert de boucle : H(s) = C(s)G(s) (FTBO)

Différence de retour : L(s) = 1 + H(s) = 1 + C(s)G(s)

FTBF : F(s) = H(s) / L(s)

Fonction de sensibilité :  $\Sigma(s) = 1 / (1 + C(s)G(s)) = 1 / L(s)$ 

Fonction de sensibilité complémentaire : F(s) car  $F(s) = 1 - \Sigma(s)$ 

Commande analogique

Erreur réelle :  $\varepsilon = \Sigma \cdot (X - P) + F \cdot B$ 

Sortie:  $Y = F(X - B) + \Sigma.P$ Commande :  $U = C.\Sigma.(X - B - P)$ 

Finalement, on peut réécrire les

1+CG

## Applications Avantages de la Cde en BF (suite)

0

Baisse de la sensibilité à des variations de paramètres (exemple) :

G(s) FIBF= 1+G(s)G(s)

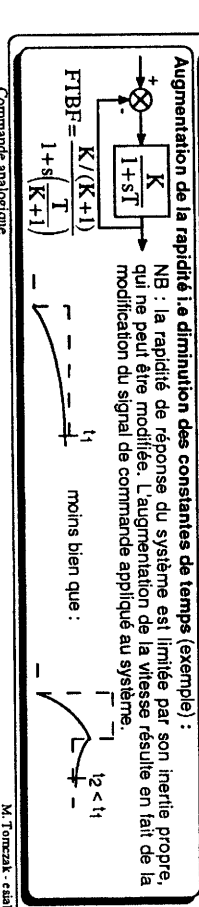
Dans le cas de la commande en BO, chaque composant du système doit être conçu et choisi avec soin pour avoir une réponse très précise. En Boucle Fermée, le niveau de précision requis peut être moins important, car la sensibilité aux variations de paramèrres de G(s) est réduite d'un facteur 1 + G(s). Pour illustrer ceci, supposons que, suite par exemple à un vieillissement ou un échauffement, la FT G(s) subit une petite variation :

 $G(s) \rightarrow G(s) + \Delta G(s)$ , avec  $|G(s)| >> |\Delta G(s)|$ 

En BO, la sortie est alors donnée par :  $Y(s) + \Delta Y(s) = [G(s) + \Delta G(s)]X(s)$  ie  $\Delta Y(s) = \Delta G(s)X(s)$ 

En BF, la sortie s'écrit :  $Y(s)+\Delta Y(s)=$  $1 + G(s) + \Delta G(s)$  $G(s) + \Delta G(s)$ <sub>¬</sub>X(s), soit : ΔY(s)≅<sub>¬</sub>  $1 + \overline{G(s)}^{X(s)}$  $\Delta G(s)$ 

à 1 dans de nombreux cas pratiques. Ainsi, la variation de la sortie est diminuée d'un facteur 1 + G(s), dont le module est très supérieur



## Applications Formulation du problème (suite)

 $\infty$ 

Fonctions de sensibilité: On l'a déjà évoqué précédemment, un système, de quelque nature qu'il soit, est sujet à des variations : environnement, vieillissement, connaissance incomplète des paramètres qui décrivent son fonctionnement, etc. La sensibilité d'un système de commande aux erreurs de modèle est défini comme le rapport entre le taux de variation de la FTBF et le taux de variation de la FT du système à commander (Bode)

 $\Sigma = \overline{\Delta G(s)}$  $\Delta F(s)$ G(s) F(s)

A la limite, pour de petites variations additives:

<u>Y</u>= ଦାଧା <u>ƏlnF</u>

It est clair que pour un système en boucle ouverte,  $\Sigma = 1$ .

Dans le cas du schéma-bloc précédent, on peut écrire :

$$\Sigma = \frac{\partial F/F}{\partial G/G} = \frac{G}{F} \frac{\partial F}{\partial G} = \frac{G}{F} \frac{\partial}{\partial G} \left( \frac{CG}{1 + CG} \right) = \frac{G}{F} \left( C(1 + CG)^{-1} - CGC(1 + CG)^{-2} \right)$$

$$= \frac{G}{F} \left( (1 + CG)^{-2} [C(1 + CG) - CGC] \right) = \frac{CG}{F} (1 + CG)^{-2} = \frac{CG(1 + CG)^{-2}}{CG(1 + CG)^{-1}}$$

sur les performances de la loi de commande (précision, rejet des perfurbations, immunité aux bruits, immunité aux erreurs de modèle) et peuvent donc être utilisées pour formuler les différents objectits que doit atteindre la loi de commande. La synthèse de la loi de commande peut ainsi s'appuyer sur cette Σ représente également la sensibilité aux perturbations P. Les fonctions de sensibilité Σ et F renseignent formulation.

# Applications Formulation du problème (suite)

Synthèse de lois de commande : il s'agit de choisir la structure et les paramètres du correcteur de façon judicieuse. Rappelons tout d'abord les relations établies auparavant :

 $Y=F.(X-B)+\Sigma.P$  $\varepsilon = \Sigma \cdot (X - P) + F \cdot B$  $: U=C.\Sigma.(X-B-P)$ 

Considérons, en premier lieu, le problème de minimisation de l'erreur (précision). En fonctionnement normal (pas de perturbation ni de bruit), la première relation montre qu'on doit avoir F proche de 1. Ceci peut être assuré en choisissant une FT C(s) adéquate pour le correcteur. Dans ce cas, Σ est petite et,

Soit, à présent, le problème du rejet des perturbations. La première relation montre clairement que  $\Sigma$  doit être petite, ce qui est en parfaite adéquation avec les contraintes précédentes. Bien sur, le fait de fixer  $\Sigma$  petite permet également de limiter la sensibilité du système de commande aux d'après la seconde relation, l'erreur est limitée au bruit.

erreurs de modèle.

Toutefois, si l'on s'intéresse au problème du filtrage du bruit, on constate, au vu de la deuxième relation, que F doit être fixé le plus petit possible (et donc Σ proche de 1) !!
Pour résoudre ce conflit, et étant donné que le bruit se manifeste généralement pour l'essentiel en haute fréquence, on adopte le compromis suivant : F petite en haute fréquence et Σ petite en basse

Illustration: supposons que C(s) = Kp et G(s) = K. On a dans ce cas les relations suivantes:

$$Y(s) = \frac{K_p K}{1 + K_p K} (X(s) - B(s)) + \frac{1}{1 + K_p K} P(s)$$
Dans ce cas relation temporary for product and product and product and product are product as a reference of a print on doit avoir  $K_p \to \infty$ . Alors, it

Dans ce cas particulier (gains uniquement), la relation temporelle est de la même forme.

de la perturbation est minimisée. Toutefois, ceci pose un certain nombre de problèmes : saturation du signal de commande effectivement appliqué (actionneurs saturés), effet du bruit négligé, et augmentation des risques d'instabilité. Ce dernier point est représentatif du problème connu sous le nom de cliemme stabilité/précision. Le plus grand risque d'instabilité peut se comprendre intuitivement : nom de cliemme stabilité/précision. sortie y peut alors dépasser x dans l'autre sens, ce qui provoque à nouveau une commande trop forte, etc. Le système peut osciller à la recherche d'un équilibre difficile à trouver (phénomène de pompage). Si l'on néglige la présence de bruit, on doit avoir  $K_p \to \infty$ . Alors,  $y(t) \to x(t)$  quelque soit K, et l'influence Kp étant très grand, une petite erreur peut suffire à entraîner une commande u disproportionnée. La

#### Applications | Notion de correction (suite)

dernière doit être différente selon que l'erreur est en train d'augmenter ou de diminuer : il faut bien sûr chauffer plus si l'erreur augmente encore. De plus, il faudrait agir en rapport avec la vitesse de variation de l'erreur : une augmentation rapide appelle une action plus énergique. Pour cela, on Correction Proportionnelle Dérivée : On peut encore améliorer la correction précédente. Reprenons l'exemple du chauffage. Si à un instant donné, la température de la pièce est inférieure à la 1° de consigne, l'erreur est positive, il faut donc chauffer et envoyer une commande u appropriée. Mais cette introduit la dérivée de l'erreur dans la loi de commande :

 $\mathbf{u}(t) = \mathbf{K}_{\mathbf{p}} \left( \mathbf{e}(t) + \mathbf{T}_{\mathbf{d}} \frac{\mathbf{d}\mathbf{e}(t)}{\mathbf{d}t} \right)$ 

Ainsi, si e(t) diminue, la dérivée est négative et donc u(t) diminue également, et vice versa. Le paramètre Td. parfois appelé simplement constante de dérivation, représente en fait le temps d'action dérivée (secondes).

système, en jouant sur les autres paramètres (ici Kp plus grand) l'amortissement, donc la stabilité du système. Ce faisant, elle permet d'augmenter la rapidité du 'erreur à l'instant t + T<sub>d</sub> (par interpolation linéaire). Ceci a pour conséquence d'améliorer 'action D a un effet d'anticipation, on peut considérer qu'elle prédit, à l'instant t, la valeur que prendra

l'erreur. Ainsi, lors d'une variation de consigne importante (par exemple au démarrage), l'erreur est très grande, et une commande proportionnelle peut conduire à la saturation de la commande. On peut alors assurer une commande plus progressive. Exemple (en bourde ouverte)

Le temps d'action intégrale T<sub>I</sub>, inversement proportionnel à l'action intégrale, doit être choisi de l'ordre Système

 $u(t) = \frac{1}{T_i} \int_0^t e(\tau) d\tau = \frac{1}{T_i} \int_0^t E_0 d\tau =$ 

augmente trop vite, au contraire, si T<sub>I</sub> est trop grand, le démarrage est trop mou. Commande anaiogique

de la constante de temps dominante du système à commander. Si Ti est trop petit, la commande

#### Applications | Notion de correction

la mesure, le signal ou la loi de commande à délivrer aux actionneurs. On a déja vu que le rôle du correcteur est d'élaborer, à partir du signal d'erreur ou de la consigne et de

sortie y est intérieure à la consigne x, on envoie une commande u maximum. Au contraire, si e < 0, i.e si y > x, on envoie u = 0 ou u minimum. Une telle loi de commande est utilisée pour les systèmes Correction Tout Ou Rien: La commande la plus simple est du type TOR: si l'erreur e est positive i.e la

Exemples : appareil de chauffage à thermostat, régulation de niveau dans une cuve (celle-ci étant par exemple équipée de 2 détecteurs de niveau, max et min) rustiques à forte inertie.

Correction Proportionnelle: on peut améliorer le principe précédent, on envoie toute la puissance lorsqu'on est loin du but poursuivi, mais on essaie de réduire au fur et à mesure qu'on s'en approche. C'est la loi de commande proportionnelle u(t) = Kp.e(t).

Exemple : Régulation de température dans une pièce. La température θ d'une pièce est fonction de la r T de l'eau chaude envoyée dans le radiateur. Par expérience, l'habitant sait qu'il obtient un résultat satisfaisant (θ<sub>réf</sub> = 10°C) en fixant par exemple T = 60°C. Il sait également qu'en fonction de certaines si  $\theta > \theta_{ref}$ ). Comme attendu, lorsque la température  $\theta$  baisse, T augmente. à réaliser une loi de commande proportionnelle telle que T = Kp (8, et - 8) (et arrêt du chauffage de l'eau perturbations (température extérieure, rayonnement solaire, ...), il devra modifier cette valeur (l'augmenter si par exemple  $\theta_{\rm ext}$  décroit). Une première tentative de réglage automatique de  $\Gamma$  consiste

rapide, mais il y a risque de dépassement et d'oscillations. En revanche, si Kp est petit, Avec une commande proportionnelle, si le gain Kp est grand, on obtient une correction énergique et correction est plus molle et lente mais présente moins de risque d'instabilité. a

Remarque : en pratique, l'amplitude du signal de commande u est limitée soit par la saturation des amplificateurs soit par limitation volontaire à la puissance nominale admissible par les actionneurs. Ainsi, au delà d'une certaine erreur maximale, u n'augmente plus. La plage d'erreur dans laquelle la commande u reste égale à Kp.e est appelée Bande Proportionnelle (BP), et est inversement

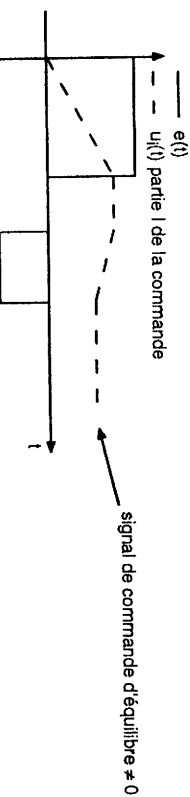
proportionnelle au gain : BP = umax / Kp. Commande analogique

### Applications | Notion de correction (suite)

**Correction Proportionnelle Intégrale (suite) :** En pratique, l'action intégrale est associée à l'action proportionnelle. On obtient alors une loi de commande Pl :

$$\mathbf{u}(t) = \mathbf{K}_{\mathbf{p}} \left( \mathbf{e}(t) + \frac{1}{\mathbf{T}_{\mathbf{i}}} \int_{0}^{t} \mathbf{e}(\tau) d\tau \right)$$

L'objectif essentiel du régulateur PI est d'assurer la précision du système en présence de sollicitations (consignes et/ou perturbations) constantes, c'est à dire d'annuler l'écart de réglage en régime permanent. Ceci est rendu possible par le fait que le signal de commande issu d'un correcteur PI n'est pas forcément nul lorsque l'erreur est nulle. Illustration :



Les régulateurs existants sont des correcteurs PID, associant donc les 3 types d'action. La correction PID est de loin la plus employée (90 % des régulations industrielles), mais dans de nombreux cas, l'action dérivée est mise à zéro (Td = 0). Le réglage des paramètres (gain proportionnel et temps On verra par la suite qu'il existe plusieurs structures de correcteurs PID. Sur le plan de la réalisation, un correcteur PID analogique électrique est un filtre analogique construit à l'aide d'amplificateurs d'actions dérivée et intégrale) peut s'effectuer à l'aide de diverses méthodes, empiriques ou théoriques. opérationnels montés en amplificateurs, intégrateurs et dérivateurs

M. Torrezak - esia

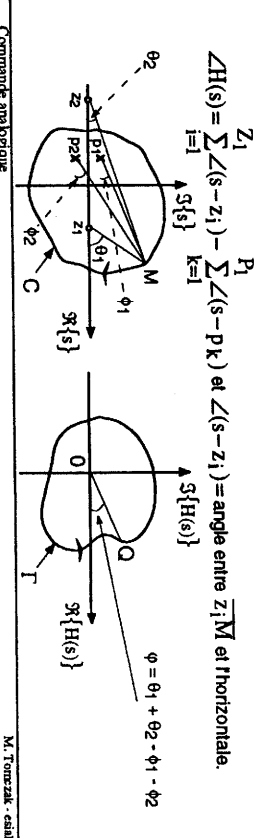
Applications Stabilité : critère de Nyquist

utiliser le critère de Routh, mais celui-ci rend difficilement compte de la robustesse de la stabilité. Il peut être judicieux d'utiliser un critère de stabilité graphique : le critère de Nyquist Le critère de Nyquist repose sur un théorème issu de la théorie de l'indice de Cauchy : Lorsqu'un processus, lui-même stable, est commandé par une boucle d'asservissement, il peut arriver que le système bouclé obtenu ne soit pas stable, il y alors apparition d'oscillations incontrôlables. Avant de refermer une boucle, il est donc indispensable de bien connaître les conditions de stabilité. On peut

dont Z zéros et P pôles à l'intérieur de C (comptés avec leur multiplicité) : variable complexe s, et une fonction H(s), exprimée sous forme d'une fraction rationnelle (H est holomorphe) et possédant Z1 zéros et P1 pôles Théorème : Soit un contour fermé C quelconque dans le plan de la H(s) = 0 $11_{k=1}^{1}(s-p_k)$  $\prod_{i=1}^{n}$  $(s-z_i)$ 

contour C. Si M parcourt C une fois dans un sens donné, le point Q fait Z - P tours dans le Soit I le contour fermé décrit par le point Q d'affixe H(s) quand le point M, d'affixe s, décrit le même sens autour de l'origine.

Ce théorème se démontre dans le cas général en appliquant le théorème des résidus à H/H pour le lacet C. Dans le cas particulier des fractions rationnelles, la démonstration est plus simple. En effet :



#### Applications Stabilité : critère de Nyquist (suite) 15

Commande analogiqu

tourne P tois autour du point -1 dans le sens trigonométrique Un système, dont la FTBO a P pôles dans le demi-plan droit, est stable en boucle termée si, le point M d'affixe s parcourant le contour de Bromwich, la courbe R(s) G(s)

#### Remarques:

- si R(s) = K, idem si G(s) tourne P tois autour de -1/K dans le sens trigonométrique.
   si des pôles sont sur l'axe imaginaire, il faut modifier C de façon à les contourner par des demi-cercles de rayon tendant vers 0.
- correspondant au demi-axe imaginaire positif le diagramme de Nyquist de la boucle ouverte R(s) G(s) n'est autre que la partie du lieu de Nyquist

#### Critère simplifié : critère du revers

présente une symétrie par rapport à l'axe réel. Enfin, l'image du démi-axe positif est le diagramme de Nyquist de H(s). infini est réduite à l'origine. De plus, quand s décrit le demi-axe imaginaire négatit,  $H(s) \to H^*(s)$ , donc  $\Gamma$ Dans la pratique, sauf cas particulier, la structure des FTBO R(s) G(s) = H(s) permet de simplifier l'application du critère de Nyquist. Tout d'abord, si la FTBO est stable, on a P = 0. D'autre part, si le de du numérateur de H(s) est strictement intérieur au de du dénominateur, l'image du demi-cercle de rayon

Dans ces conditions, on peut énoncer le critère du revers

Un système est stable en boucle fermée si son diagramme de Nyquist en boucle ouverte laisse le point critique -1 sur sa gauche lorsqu'on le parcourt dans le sens des ω croissants.

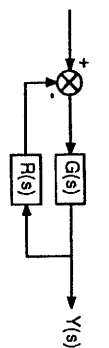
Commande analcgique

# Applications Stabilité : critère de Nyquist (suite)

φ, argument de H(s), est égale à -2π si zi est à l'intérieur de C (le segment ziM effectue un tour), et dire que Q toume Z - P fois autour de l'origine dans le sens horaire. Dans le cas de la figure précédente, on a Ž - P = 1 - 2 = -1, ce qui correspond à un tour dans le sens anti horaire. égale à zéro si z<sub>i</sub> est à l'extérieur (le segment n'effectue qu'une oscillation). De même pour les pôles p<sub>ic</sub> Quand M décrit C une fois dans le sens horaire, la contribution de chaque terme s · zi à la variation de Donc, si Z zéros et P pôles sont à l'intérieur de C, la variation totale de φ est égale à (Z - P).(-2π), c'est à

# Application à l'analyse de la stabilité des systèmes bouclés :

Soit le système bouclé ci-contre, d'équation caractéristique 1 + R(s) G(s) = 0. Celui-ci est stable si les racines (i.e les zéros) de l'équation caractéristique sont à partie réelle négative.



 $\Im\{s\} = \omega$ 

18

(s)

On choisit comme contour C le **contour de Bromwich** ci-contre. Celui-ci a pour image le **lieu de Nyquist**  $\Gamma$ . Soit P le nombre de pôles de 1 + TRO R(s) G(s) (c'est à dire les pôles de la +TBO R(s) G(s)) situés à l'intérieur de C. Le système en boucle termée sera stable si Z = 0, c'est à dire si N, le nombre de tours de  $\Gamma$  autour de 0 dans le sens horaire, est égal à -P, soit :

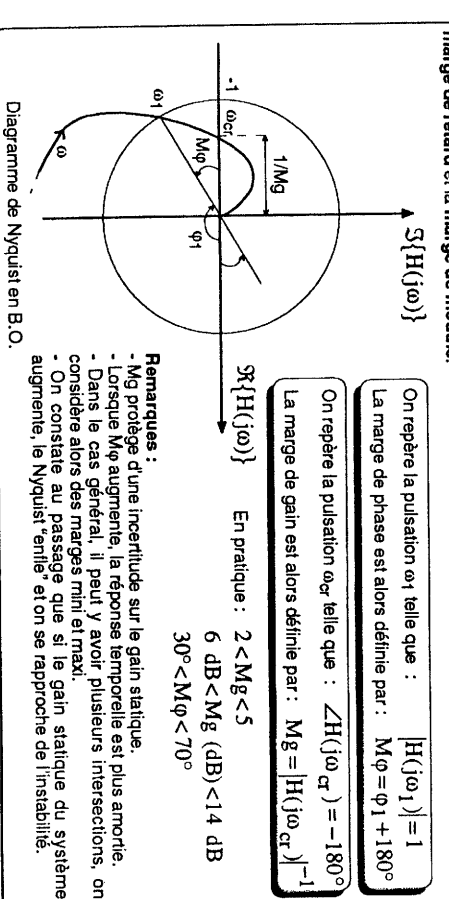
<u>Z</u> = P  $\Re\{s\} = \sigma$ 

Mais, dire que l'image par 1 + R(s) G(s) encercle N fois l'origine revient à dire que l'image par R(s) G(s), i.e la FTBO, encercle N fois le point -1 (point critique). Finalement, la condition de stabilité s'énonce de la taçon sulvante : M. Torriczak - esial

Commande analogique

#### Applications Marges de stabilité

En pratique, il ne suffit pas qu'un système de commande soit stable, il faut s'assurer de la robustesse. En effet, on observe en général une dérive des paramètres, due soit à la modification de l'environnement du système, soit à son évolution naturelle. On s'impose par conséquent une marge de l'environnement du système, soit à son évolution naturelle. On s'impose par conséquent une marge de sécurité en garantissant une certaine distance entre le lieu fréquentiel en boucle ouverte et le point critique. Parmi les distances couramment employées, on trouve les marges de gain et de phase, la marge de retard et la marge de module.



Commande analogique M. Tomczak - esia

#### Applications Précision

On cherche à présent à établir les conditions à respecter pour assurer la précision d'un système de commande, c'est à dire la réduction ou mieux, l'annulation, de l'écart de réglage en régime permanent. Ces conditions ne peuvent s'établir qu'en fonction d'hypothèses sur la forme de l'entrée considérée (signal de consigne ou perturbations). Dans un premier temps, on s'intéresse au problème de l'asservissement, autrement dit, on suppose qu'il n'y a pas de perturbation. Si de plus, on néglige le bruit, les relations générales précédentes (transparents 7 et 9) s'écrivent:

$$Y=F.(X-B)+\Sigma.P=F.X$$

On cherche à quelle condition :

$$\lim_{t\to\infty} \varepsilon(t) = \lim_{s\to 0} s.\varepsilon(s) = 0$$

On suppose que la transformée de Laplace de la consigne est de la forme : Si n=0, la consigne est une impulsion, si n=1, il s'agit d'un échelon, etc.

$$X(s) = \frac{a}{s^n}$$

On a alors:

$$E(s) = \Sigma(s)X(s) = \frac{1}{1 + C(s)G(s)} \cdot \frac{a}{sn}$$
 mettant e

Or, la FTBO C(s)G(s) peut s'écrire en mettant en évidence les pôles à l'origine et une FT W(s) de gain statique égal à 1 ne possédant plus de pôles en s = 0 :

 $C(s)G(s)=K\frac{W(s)}{s}$ 

Finalement:

$$\lim_{t\to\infty} \varepsilon(t) = \lim_{s\to 0} s \cdot \frac{1}{1+K} \frac{1}{\frac{W(s)}{s^r}} \cdot \frac{a}{s^n} = \lim_{s\to 0} \frac{a \cdot s^{r-n+1}}{s^r + K} = 0 \text{ si } r \ge n$$

De manière générale, l'erreur en régime permanent est appelée erreur stationnaire. Plus précisément, on parle d'erreur statique ou de position lorsque l'entrée est un échelon (n=1), d'erreur de traînage ou de vitesse pour une rampe (n=2), et d'erreur d'accélération pour n=3.

Commande analogique

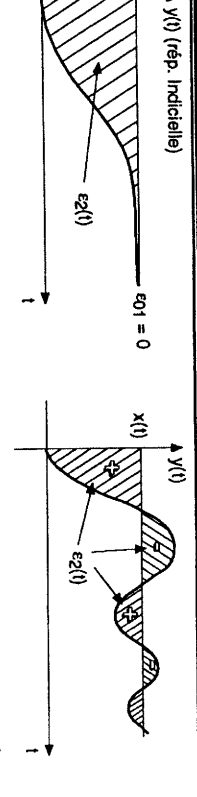
M. Torriczak - esial

# Applications

ä

#### Précision (suite)

9



d'oscillations afin que les surfaces positives et négatives se compensent. Si l'on veut que £02 soit nulle, il faut que l'intégrale de £1(t) puisse s'annuler, ce qui implique la présence

unituence des perturbations: On a examiné le problème de l'asservissement, il nous reste à étudier le cas de la régulation. On suppose donc à présent la consigne nulle, et on se propose d'établir les conditions pour que l'erreur permanente soit nulle, ou, ce qui ci revient au même, pour que la sortie y(t) permanente soit nulle. Pour ce faire, on considère une perturbation de la forme P(s) = a/s<sup>n</sup>. Bien sûr, dans la réalité, les perturbations sont généralement aléatoires, cette modélisation permet toutefois de rédense des conditions années con des conditions en services conditions en service de la condition de la forme particular en la condition de la forme production de la condition permet toutefois de rédense des conditions en la condition de la forme production de la forme particular en la condition de la forme de la forme dégager des conclusions pratiques. On a dans ce cas : SI

 $Y(s) = F(s).(X(s) - B(s)) + \Sigma(s).P(s) \text{ soit, si l'on néglige le bruit : } Y(s) = \Sigma(s).P(s) = \frac{1}{1 + C(s)G(s)}$ 

d'où : 
$$\lim_{t\to\infty} y(t) = \lim_{s\to 0} sY(s) = \lim_{s\to 0} s \cdot \frac{1}{1+K} \cdot \frac{a}{W(s)} \cdot \frac{a}{s^n} = \lim_{s\to 0} \frac{a \cdot s^{r-n+1}}{s^r + K}$$
 On constate qu'on ramené à la m condition que dans le de l'asservissement.

cas est

Les résultats établis précédemment restent donc valables pour les perturbations. Attention : intégrations doivent être situées en amont du point d'entrée de la perturbation. de l'asservissement. condition que dans

Commande analogique

#### Applications

#### Précision (suite)

 $\overline{\infty}$ 

Erreur de position (n=1) :

$$\begin{cases} \varepsilon_{01} = \lim_{s \to 0} \frac{a.sr}{s^r + K} = \begin{cases} \frac{a}{1+K} & \text{si } r = 0\\ 0 & \text{si } r \ge 1 \end{cases}$$

Si la FTBO n'a pas de pôles à l'origine (pas d'intégration), l'erreur statique est finie, d'autant plus petite que K est grand (mais attention à la stabilité). Si la FTBO possède au moins une intégration, le système est parfaitement précis.

Erreur de vitesse (n=2) :

 $\varepsilon = \Sigma \cdot (X - P) + F \cdot B = \Sigma \cdot X$ 

moins deux intégrations dans la FTBO de l'erreur stationnaire Pour une entrée de consigne en rampe, l'annulation suppose la présence d'au

$$\varepsilon_{02} = \lim_{s \to 0} \frac{a.s r - 1}{s + K} = \begin{cases} \infty & \text{si } r = 0 \\ \frac{a}{K} & \text{si } r = 1 \\ 0 & \text{si } r \ge 2 \end{cases}$$

Erreur d'accélération (n=3) :

$$\epsilon_{03} = \lim_{s \to 0} \frac{a.s r^{-2}}{s^{+} + K} = \begin{cases} \frac{a}{K} & \text{si } r = 2 \\ 0 & \text{si } r \ge 3 \end{cases}$$

dont la transmittance présente une intégration : correcteur à action intégrale **Conclusion :** la valeur de l'erreur en régime permanent dépend du d° du polynôme d'entrée et du nombre d'intégrations dans la FTBO. En particulier, si la FTBO ne contient pas de pôtes à l'origine, l'erreur permanente de position est finie. S'il est nécessaire de l'annuler, il faut introduire un correcteur

**Remarque :** il existe un compromis nécessaire entre l'oscillation indicielle et le rattrapage de la rampe. En effet, soient ε₁(t) et ε₂(t) les erreurs correspondant respectivement à une consigne en échelon et en l'intégrale de  $\epsilon_1(t)$ . Deux situations peuvent alors se présenter : rampe, comme  $\mathcal{E}(s) = \Sigma(s).X(s)$ , on a de taçon évidente  $\mathcal{E}_2(s) = \mathcal{E}_1(s)/s$ , c'est à dire que  $\mathcal{E}_2(t)$  est

M. Tomczak - esiał

Applications

Précision (suite)

 $\lim_{s\to\infty} y(t) = \lim_{s\to 0} sY(s) = \lim_{s\to 0} s \cdot \frac{G(s)}{1+C(s)G(s)} \cdot \frac{a}{s^n} =$ diagramme G(s) ij E **∳** C(s) G(s)

fonctionnel suivant: En effet, considerons

ō

Dans ce cas:

des dérivations). Pour que y(∞) tende vers 0 comme on le souhaite, il faut que sn-1.C(s) tende vers l'∞ Donc, le correcteur C(s) doit présenter au moins n intégrations. Lorsque s tend vers zéro, 1/G(s) tend vers 1/Go, ou 0 si G(s) a des intégrations (sauf si G(s) comporte  $s\rightarrow 0$   $s^{n-1}$ C(s)+

Hemarque : si une perturbation en échelon intervient et qu'il n'y a pas d'intégration, la perturbation n'est pas effacée mais tout de même limitée par la boucle, et cela d'autant mieux que le gain du correcteur est grand. perturbations de toute la chaîne.

On aura toujours intérêt à placer les intégrations le plus possible en amont

afin de combattre les

(ŧ) š **►** ≦ P Š Exemple:  $C(s) = \frac{K}{1 + \dots}$ C(s) =perturbation s(1+...)

C(s) est en d'entrée de p(t) amont 9 point

permanente est le perturbations en effacées. seulement limitée par la boucle et ce d'autant plus que K est grand. De plus, l'erreur de position, non nulle, décroît quand K augmente. sans integration, Avec intégration, échelon n le Φ.

M. Torne zak

Commande analogique

#### Applications Rapidité

En règle générale, un système bouclé doit répondre rapidement aux variations de consigne (asservissement) et effacer rapidement les perturbations (régulation). Le temps de réaction est en relation étroite avec l'inertie propre du système, on peut en effet s'attendre à des temps de réponse plus courts de la part d'un petit moteur électrique que d'un système de chauffage industriel. On considère à présent un système du premier ordre, supposé de gain unitaire et de constante de temps T. Sa réponse indicielle est de la forme : 1 - exp(-VT). Soit le temps de montée t<sub>m</sub> défini comme le temps mis par la réponse indicielle pour passer de 10 à 90 % de sa valeur finale. Pour le premier ordre, on a :

 $t_{\rm m} \approx 2.2T$ en effet :  $\int a 10 \% \rightarrow e^{-T} = 0,9 \rightarrow t \approx 0,105T$  $a 90 \% \rightarrow e^{T} = 0, 1 \rightarrow t \approx 2,3T$ 

1er ordre est donnée par :  $f_{\rm c} = \frac{\omega_{\rm c}}{2\pi} = \frac{1}{2\pi T}$ 

Or, la fréquence de coupure du

Des deux relations précédentes, on tire :

 $[t_{\rm m}.f_{\rm c} = \frac{2.2}{2\pi} \approx 0.35]$ 

Ainsi, le temps de montée, qui est une mesure de la rapidité du système, est d'autant plus petit que la bande passante, mesurée par f<sub>o,</sub> est plus grande. Ce résultat est général : l'**amélioration de la rapidité** 

(propriété temporelle) passe par l'élargissement de la bande passante (propriété fréquentielle) du système. Intuitivement, on conçoit bien que plus les fréquences élevées sont admises plus le système est rapide. Par ailleurs, on a vu précédemment qu'un système est plus rapide en boucle fermée qu'en boucle ouverte : le bouclage permet donc d'élargir la bande passante d'un système. Comme on la déjà fait remarquer, la vitesse intrinsèque d'un système est immuable, il en est de même de sa bande passante. L'élargissement de cette dernière par bouclage n'est qu'apparent. En fait, si le système semble plus rapide, c'est parce que le signal de commande appliqué est modifié par la boucle et le correcteur. Par exemple, lors d'une consigne en échelon, un correcteur proportionnel va engendrer une commande comportant une pointe initiale. Mais attention, cette dernière ne peut être aussi grande une commande comportant une pointe initiale. Mais attention, cette dernière ne peut être aussi grande une commande comportant une pointe initiale. Mais attention, cette dernière ne peut être aussi grande une commande comportant une pointe initiale. Mais attention, cette dernière ne peut être aussi grande une commande comportant une pointe initiale. que l'on veut (saturation, à-coup sur l'actionneur, surconsommation d'énergie).

Commande analogique

M. Tomczak - esial

## Applications

#### Situation générale (suite)

Cas de la perturbation p2(t) : étant non-mesurable, on ne peut la prendre en compte explicitement, néanmoins, elle peut être compensée voire effacée si C(s)G(s) possède une ou plusieurs intégrations.

la faisabilité de C1(s) n'est pas du tout assurée, d'autre part, G1(s) est rarement connue, et en général correcteur  $C_1(s) = -G_1(s)/G(s)$ , on pourrait rendre la sortie y(t) indépendante de  $p_1(t)$ . Mais, d'une part, Cas de la perturbation p1(t): d'un point de vue purement théorique, si l'on était capable de réaliser un très difficile à déterminer, enfin, la connaissance de G(s) est rarement parfaite. Une solution simple consiste à choisir C<sub>1</sub>(s) sous la forme :

 $C_1(s) = \tilde{-}$  $K_1(1+\tau_1s)$ 1+t2s régulateur de tendance

La présence de ce régulateur permet au système de réagir plus vite en cas de perturbation, puisque sans lui, il faut attendre l'effet de  $p_1(t)$  sur y(t) puis sur  $\varepsilon(t)$ . Il y a donc un effet d'anticipation d'où le nom de régulateur de tendance.

Cas de la consigne x(t) : Une première approche du problème de correction consiste à déterminer C(s) de telle sorte que la FTBF F(s) soit égale à une FT donnée Fd(s), cette dernière étant une FT convenable que l'on s'impose a priori :

 $\frac{C(s)C(s)}{1+C(s)G(s)} = F_d(s) \rightarrow \left(C(s) = \frac{a}{G(s)(1-F_d(s))}\right)$ C(s)G(s) Fd(s)

pôles additionnels loin de l'axe imaginaire (modes plus rapidement amortis, petites constantes statique unitaire (précision). Si on ne peut limiter l'ordre de Fd(s) à 2, on peut envisager de placer les limiter les dépassements, de pulsation propre  $\omega_0$  aussi élevée que possible (rapidité), et de gain s'oriente fréquemment vers une FT Fd(s) du 2ème ordre, d'amortissement \u00e7 assez fort pour éviter ou correcteur C(s). Par ailleurs, des problèmes peuvent se poser si C(s) compense des pôles instables ou mal amortis de G(s), ceci en raison de l'incertitude qui existe toujours sur cette FT. Lorsqu'on le peut, on Attention, un choix arbitraire ou trop contraignant pour Fd(s) peut conduire à l'impossibilité de réaliser le temps), c'est la méthode dite du 2ème ordre dominant.

М. Топклак - ема

# **Applications**

#### Situation générale

Le schéma bloc suivant décrit un problème de commande monovariable très général (le bruit est toutefois négligé): <u>×</u> C1(s) G1(s)

C<sub>1</sub>(s). La perturbation p<sub>2</sub>(t) est supposée mesurable, on peut la prendre en compte, c'est la raison de la présence du correcteur agit sur la sortie via la FT G₁(s). Etant La perturbation p<sub>1</sub>(t), supposée mesurable

On cherche à élaborer le signal de commande u(t), par traitement de l'erreur ɛ(t) non-mesurable.

uans certains cas, on peut être amené à ajouter une contribution supplémentaire provenant du traitement de la sortie (ou de la et de la perturbation mesurable p1(t). sortie mesurée), d'où le correcteur C2(s).

(၄<sub>2</sub>(s)

Par exemple, si l'on souhaite utiliser un correcteur comprenant une action dérivée. Pour éviter des pics de commande disproportionnés lors de changements de consigne brusques, on peut alors décider de ne pas appliquer l'action D sur l'erreur (donc sur la consigne) et de la limiter à la partie de l'erreur correspondant à la sortie (ou la mesure). Il en est de même pour l'action proportionnelle mais dans une moindre mesure. Dans le cas plus simple, où seuls C(s) et C1(s) sont utilisés, on a les relations :

$$Y(s) = P_2(s) + G_1(s)P_1(s) + G(s) \big[ C_1(s)P_1(s) + C(s) E(s) \big] \qquad \text{d'où} :$$

$$Y(s) = \frac{1}{1 + C(s)G(s)} P_2(s) + \frac{G_1(s) + C_1(s)G(s)}{1 + C(s)G(s)} P_1(s) + \frac{C(s)G(s)}{1 + C(s)G(s)} X(s)$$

Commande analogique

M. Tomczak - esial

#### Applications Situation générale (fin)

Exemple: 
$$G(s) = \frac{1}{1+sT} \; ; \; F_d(s) = \frac{1}{1+2\zeta \frac{s}{\omega_0} + \left(\frac{s}{\omega_0}\right)^2} \\ \to C(s) = \frac{F_d(s)}{G(s)(1-F_d(s))} = \frac{1+sT}{s\left(\frac{2\zeta}{\omega_0} + \frac{s}{\omega_2}\right)} = \frac{\frac{\omega_0 1 + sT}{2\zeta s 1 + s\tau} \text{ avec } \tau = \frac{1}{2\zeta\omega_0}$$

Ce correcteur, parfaitement réalisable, assure en fait deux fonctions de correction distinctes, remplaçant  $\omega_0$  par  $1/2\zeta_1$  et en décomposant en éléments simples, il vient : m

$$C(s) = \frac{1}{4\zeta^2 \tau} \left[ \begin{array}{cc} \frac{1}{s} & + & \frac{T - \tau}{1 + s\tau} \\ \frac{1}{s} & \text{action I filtrage Pbas} \end{array} \right]$$

alors  $t_r = 3/\omega_0$ . On essaie donc d'avoir :  $3/\omega_0 = 3T/4$ , c'est à dire  $\omega_0 = 4/T$  ou encore : on fixe Ç à 0,7 de façon à avoir un taux de 1er dépassement d'environ 5 %. Pour le 2ème ordre, on a s'impose de diviser le temps de réponse à 5 %  $t_r$  de G(s) par un facteur 4 (pour le 1er ordre,  $t_r \approx 3T$ ). On calcule à présent  $\tau$  en vue d'obtenir de bonnes performances dynamiques. Par exemple, on  $-10^{-10}$  au distant la tenne de rénonse à 5 % t. de G(s) par un facteur 4 (pour le 1er ordre, t<sub>r</sub> = 3T), et

 $\tau = 1/2\zeta\omega_0 = T/8\zeta \approx 0,18T.$ 

commande u(t). Par example, si on avait voulu diviser le temps de réponse par 100, on aurait obtenu :  $\tau$  = 0,0071. Or, la commande u(t) est inversement proportionnelle à  $\tau$ . Attention, de telles exigences de rapidité peuvent conduire à des valeurs trop importantes de

Commande analogique M. Tornezak - esi

On a déjà évoqué le problème de l'échantillonnage auparavant. On se propose ici de revenir plus en détail sur les conditions à respecter lors de cette opération, ainsi que sur l'opération inverse, c'est à dire la reconstruction ou reconstitution de données. Remarque : on se limite au cas de l'échantillonnage périodique.

# Signal échantillonné (rappels) :

successivement représentée par une suite d'impulsions de durée constante  $\Delta$ , dont la hauteur varie comme  $\chi(t)$ . Une approximation consiste à supposer ces échantillons rectangulaires de hauteur  $\chi(K-e)$ Physiquement, il s'agit d'une suite d'impulsions où chaque impulsion indique la valeur, pendant un court intervalle de temps, du signal analogique. Dans le cas le plus fréquent, c'est à dire l'échantillonnage par multiplication, c'est la hauteur des impulsions qui est représentative. En particulier, dans le cas de l'échantillonnage réel, la valeur du signal analogique x(t) aux instants d'échantillonnage kT<sub>e</sub> est (échantillonnage avec maintien ou avec bloqueur d'ordre 0 : cas fréquent en pratique). Dans la pratique, on s'arrange pour que  $\Delta << T_e$ . On peut alors assimiler le signal échantillonné à un train d'impulsions de Dirac modulées en amplitude (échantillonnage idéal), ce qui permet de simplifier l'analyse des différents phénomènes.

# Spectre d'un train d'impulsions modulées :

On se place désormais dans le cas "idéal". Par conséquent, le signal échantillonné est donné par :

$$\begin{split} x'(t) &= x(t), \quad \sum_{k=-\infty}^{+\infty} \delta(t-kT_e) = \sum_{k=-\infty}^{+\infty} x(kT_e) \delta(t-kT_e) \\ k &= -\infty \end{split}$$
 On en déduit : 
$$\begin{aligned} x'(t) &= x(t), \quad \sum_{k=-\infty}^{+\infty} \delta(t-kT_e) = \sum_{k=-\infty}^{+\infty} x(kT_e) \delta(t-kT_e) \\ k &= -\infty \end{aligned}$$

Echantillonnage / Reconstruction

### Applications Spectre d'un train d'impulsions

Par ailleurs, la distribution peigne de Dirac étant périodique, elle peut être développée en série de

$$\begin{split} \sum_{k=-\infty}^{+\infty} \delta(t-kT_e) &= \sum_{n=-\infty}^{+\infty} C_n e^{jn\omega_e t} \text{ avec } C_n = \frac{1}{T_e} \int\limits_{t=-\infty}^{2} \sum_{k=-\infty}^{+\infty} \delta(t-kT_e) e^{-jn\omega_e t} dt = \frac{1}{T_e} \ \forall n \\ &+\infty \\ &$$

c'est à dire :  $X(\omega) = \frac{1}{T_e} \sum_{n=-\infty} X(\omega - n\omega_e)$ 

répliques ("alias" en anglais) du spectre du signal analogique, centrées sur des pulsations multiples de la pulsation d'échantillonnage  $\omega_{\text{e}}$ . Le spectre du signal échantillonné est donc constitué, au facteur 1/Te près, d'une suite de

Remarques : le résultat précédent peut s'interpréter en termes de convolution : la TF du produit d'un signal par un peigne de Dirac est égale au produit de convolution de la TF du signal et de la TF du peigne. Or la TF du peigne, de période τ<sub>e</sub>, on a donc bien Dans le cas de l'échantillonnage réel et avec maintien, on montre : une reproduction du spectre initial centrée sur les multiples de ω<sub>e</sub> (voir Signaux 4, transp. 54)

$$X(\omega) = \sum_{n=-\infty}^{+\infty} C_n X(\omega - n\omega_e) \text{ avec } \begin{cases} C_n = \sin\left(\frac{\omega_e}{2\pi}\Delta\right) \text{ répliques modulées en amplitude (éch. réel)} \\ C_n = \sin\left(\frac{\omega\Delta}{2\pi}\right) e^{-j\frac{\omega\Delta}{2}} \text{ répliques déphasées et déformées par une} \end{cases}$$

Echantillounage / Reconstruction

## Applications Spectre d'un train d'impulsions

Par hypothèse, le signal x(t) représente la variation d'une grandeur physique et a par conséquent une énergie finie. Il possède donc une transformée de Fourier qui définit son spectre fréquentiel :

$$X(\omega) = \int_{-\infty}^{+\infty} x(t)e^{-j\omega t}dt ; x(t) = \frac{1}{2\pi} \int_{-\infty}^{+\infty} X(\omega)e^{j\omega t}d\omega$$

On cherche à présent la relation entre la transformée de Fourier du signal analogique et celle du signal échantillonné, ainsi qu'avec la transformée en z :

$$\begin{split} \mathbf{X}(\omega) &= \int\limits_{-\infty}^{+\infty} \left( \sum\limits_{\mathbf{k}=-\infty}^{+\infty} \mathbf{x}(\mathbf{k} \mathbf{T}_e) \delta(\mathbf{t} - \mathbf{k} \mathbf{T}_e) \right) e^{-j\omega t} dt = \sum\limits_{\mathbf{k}=-\infty}^{+\infty} \mathbf{x}(\mathbf{k} \mathbf{T}_e) \int\limits_{-\infty}^{+\infty} \delta(\mathbf{t} - \mathbf{k} \mathbf{T}_e) e^{-j\omega t} dt \\ &= \sum\limits_{\mathbf{k}=-\infty}^{+\infty} \mathbf{x}(\mathbf{k} \mathbf{T}_e) e^{-j\omega \mathbf{k} \mathbf{T}_e} = \sum\limits_{\mathbf{k}=-\infty}^{+\infty} \mathbf{x}(\mathbf{k} \mathbf{T}_e) \left( e^{j\omega \mathbf{T}_e} \right)^{-\mathbf{k}} \end{split}$$

d'où finalement:

 $\left|X'(\omega)=X(z)\right|_{s=j\omega}$  i.e  $z=e^{j\omega T_e}$  (résultat attendu pour des distributions)

Remarque : on note au passage que le spectre du signal échantillonné est périodique, de période égale à la pulsation d'échantillonnage, en effet :

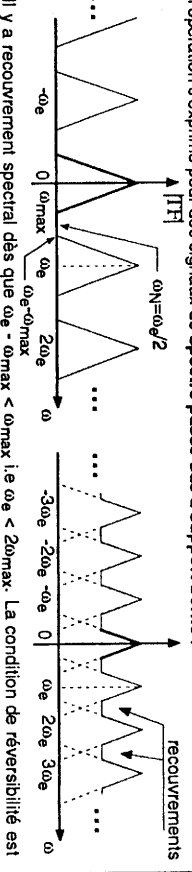
$$e^{j\omega T_{e}}=e^{j\left(\omega+k\frac{2\pi}{T_{e}}\right)T_{e}}\text{, k entier, doù:}\underbrace{\left(X\left(\omega\right)=X\left(\omega+k\omega_{e}\right)\right)}\text{avec }\omega_{e}=\frac{2\pi}{T_{e}}=2\pi f_{e}$$

chantillonnage / Reconstruction

#### Applications ( Théorème de Shannon

la présence d'un tel recouvrement entraîne la non-réversibilité de la transformation au de l'information. Dans le cas d'un signal à bande non-limitée, ce phénomène a lieu quelque soit la fréquence d'échantillonnage. Or, une conséquence du théorème de Paley-Wiener est que tout signal physiquement réalisable ne peut être simultanément à bande limitée. Ainsi, dans la réalité, l'échantillonnage entraîne toujours un certain recouvrement ce qui exclut toute possibilité de reconstruction parfaite. Néanmoins, la condition d'énergie finie impose que le spectre tende vers z éro lorsque la fréquence land vers z... le spectre est donc quasiment nul à partir d'une certaine fréquence. Il est alors possible de choisir une fréquence d'échantillonnage ne provoquant qu'un recouvrement negligeable et permettant une réversibilité acceptable. On se place toujours dans le cas idéal, deux cas sont à considérer : selon la forme du spectre du signal analogique et selon la fréquence d'échantillonnage, les répliques spectrales sont à supports disjoints ou au contraire, se recouvrent partiellement (recouvrement ou repliement spectral, "aliasing effect"). Or au contraire, se recouvrent partiellement (recouvrement ou repliement spectral, "aliasing effect"). Or

En pratique, le spectre du signal à échantillonner est généralement limité par filtrage passe-bas. La fréquence de coupure de ce filtre passe-bas, appelé filtre anti-repliement ("antialiasing filter"), est fixée en fonction de la bande jugée utile du signal d'origine. Dès lors, la condition de réversibilité de l'opération s'exprime pour des signaux de spectre passe-bas à support borné:



Il y a recouvrement spectral dès que ω<sub>e</sub> - ω<sub>max</sub> < ω<sub>max</sub> i.e ω<sub>e</sub> < 2ω<sub>max</sub>. La condition de réversibilité est donc donnée par :  $\omega_e \ge 2\omega_{max}$ .

d'échantillonnage) est une réplique de la pulsation **Remarque** : toute pulsation  $\omega'$  supérieure à la **pulsation de Nyquist**  $\omega$ N (la moitié de la pulsation  $\omega = (\omega' + \omega_N) \operatorname{mod}(\omega_e) - \omega_N$ 

#### Applications | Théorème de Shannon

29

d'information et on peut théoriquement reconstruire le signal analogique. (fréquence) d'échantillonnage est supérieure ou égale (> dans le cas théorique d'un sinus pur) au double de la pulsation (fréquence) maximale  $\omega_{\max}$  du signal. Dans ce cas, il n'y a pas de perie ωmax), est donné de manière unique par ses valeurs aux instants d'échantillonnage si la pulsation Enoncé du théorème : un signal continu, dont la TF est nulle en dehors de l'intervalle [-@max.

 $\omega_{e} \ge 2 \omega_{2}$ , mais en fait la condition suffisante est donnée par : Remarque : dans le cas d'un signal passe-bande à support borné [დ<sub>1</sub>, დ<u>2],</u> la condition de Shannon est

=  $2\frac{\omega_2}{m}$  où m est le plus grand entier  $\leq \frac{\omega_2}{\omega_2 - \omega_1}$ ω2

> sont pas forcément utilisables NB : toutes les iréquences supérieures ne

exemple:  $\omega_1 = 1$ ,  $\omega_2 = 2$ , d'où m = 2 et  $\omega_e = \omega_2$ .



#### Exemples:

Signal sinusoïdal échantillonné à 2 fois sa fréquence : on a ici perdu de l'information puisqu'après échantillonnage, on ne fait plus la différence avec le

signal nul.

instants d'échantillonnage (on a perdu de l'information sur le signal à 0,9 Hz). échantillonnés à 1 Hz peuvent présenter les mêmes valeurs aux 2 signaux sinusoïdaux, à 0,1 et 0,9 Hz,

ce que le spectre correspondant comprenne une infinité de composantes. On peut trouver une infinité de sinusoïdes passant par ces mêmes échantillons, nen d'étonnant donc

Echantillonnage / Reconstruction

## Applications RECONSTRUCTION de Shannon

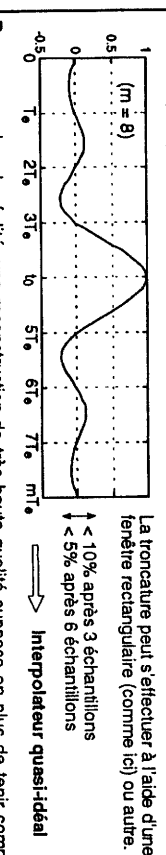
Dans l'expression précédente, f(t) désigne la réponse impulsionnelle du filtre c'est à dire la TF inverse de F(ω) :

$$\begin{split} f(t) = & \frac{1}{2\pi} \int\limits_{-\infty}^{+\infty} F(\omega) e^{j\omega t} d\omega = \frac{T_e}{2\pi} \int\limits_{-\pi}^{\tau} e^{j\omega t} d\omega = \frac{T_e}{2\pi j t} \left[ e^{j\omega t} \right] \frac{T_e}{\tau} = \sin c \left( \frac{t}{T_e} \right) \\ -\frac{\pi}{T_e} \int\limits_{+\infty}^{+\infty} e^{j\omega t} d\omega = \frac{T_e}{T_e} \left[ e^{j\omega t} \right] \frac{T_e}{\tau} = \sin c \left( \frac{t}{T_e} \right) \\ -\frac{\pi}{T_e} \int\limits_{+\infty}^{+\infty} x'(\tau) s' \dot{e} c \dot{\pi} \dot{t} : & x'(\tau) = \sum\limits_{k=-\infty}^{+\infty} x(kT_e) \delta(\tau - kT_e) \rightarrow \text{ non-nul pour } \tau = kT_e \end{aligned}$$

D'autre part, le terme x'(r) s'écrit :

$$x(t) = \int\limits_{-\infty}^{+\infty} \sum\limits_{k=-\infty}^{+\infty} x(kT_e) \delta(\tau - kT_e) . sinc \left(\frac{t-\tau}{T_e}\right) d\tau \ i.e \left(x(t) = \sum\limits_{k=-\infty}^{+\infty} x(kT_e) sinc \left(\frac{t-kT_e}{T_e}\right) d\tau \right) d\tau$$

Ce filtrage est irréalisable, puisque non-causal et faisant intervenir une infinité de termes. La solution utilisée en pratique consiste à tronquer la réponse impulsionnelle du filtre et à la décaler de  $t_0 = mT_\phi/2$ :



Remarque : dans la réalité, une reconstruction de très haute qualité suppose en plus de tenir compte des déformations et déphasages introduits par exemple par l'échantillonnage avec maintien.

Echantillonnage / Reconstruction

M. Tomczak - esial

## Applications RECONSTRUCTION de signaux

restitution de toutes les valeurs intermédiaires. Celle-ci est en pratique approximative. Concernant les systèmes de restitution, on parle d'extrapolateur d'ordre m (détermination des valeurs du signal suivant x<sub>k</sub> à partir de x<sub>k</sub>, x<sub>k-1</sub>, ..., x<sub>k-m</sub>) ou d'interpolateur d'ordre m (à partir de m + 1 La reconstitution d'un signal analogique x(t) à partir d'échantillons x(kT<sub>e</sub>) successifs implique la

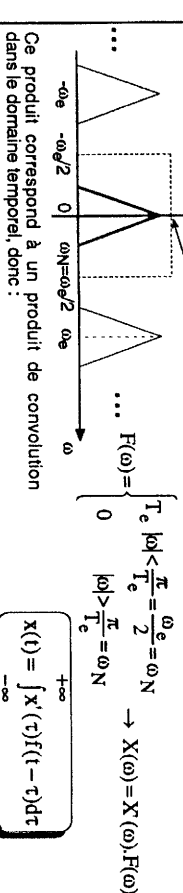
échantillons, dont certains postérieurs à  $x_k$ ). Ce dernier étant non-causal, on le rend causal admettant un retard à la reconstruction.

Remarque : en traitement du signal, certaines applications peuvent tolérer ce retard (ex : télécom.). Par contre, dans tous les systèmes bouclés, cela peut poser des problèmes de stabilité, on préfère alors utiliser des extrapolateurs (généralement des bloqueurs d'ordre 0).

# Interpolateur idéal (reconstructeur de Shannon) :

On se place dans le cas d'un signal à spectre passe-bas, l'échantillonnage est supposé idéal et sans recouvrement. Le filtre de reconstruction idéal est alors un filtre rectangulaire passe-bas, de pulsation de coupure  $\omega_e/2$ , ce qui permet d'éliminer totalement les parties du spectre introduites par

l'échantillonnage : L'échantillonnage idéal introduisant un facteur  $1/T_{\rm e}$ , le filtre doit être de hauteur  $T_{\rm e}$ :



Echantillonnage / Reconstruction

M. Tomczak - esia

#### Applications ( | RECONSTRUCTION (suite)

Remarque : dans la pratique, on utilise en fait un interpolateur quasi-idéal numérique. La reconstruction est alors effectuée en deux étapes : l'interpolateur travaille en fait à une fréquence plus élevée l'e = L.le éventuel agissent comme des filtres passe-bas. Lorsque L est choisi suffisamment grand, la distorsion spectre du signal échantillonné par L.we et ce sans modifier amax. De plus, le bloqueur et le filtre lissage. Le suréchantillonnage introduit par l'interpolation remplace la période de répétition  $\omega_{\mathbf{e}}$ introduite par l'ensemble bloqueur/filtre est négligeable. (L >> 1) et alimente à cette cadence un bloqueur d'ordre 0 (CNA) suivi éventuellement d'un filtre de

Conclusion: Cette méthode de reconstruction introduit un retard relativement important et conduit à des charges de calcul élevées. De plus, elle est inutilisable en cas d'échantillonnage irrégulier. Elle n'est donc généralement pas employée en commande échantillonnée et reste réservée à certaines applications particulières de traitement du signal nécessitant une qualité de reconstruction irréprochable (exemple : lecteur de CD).

Remarques : D'autres interpolateurs peuvent être imaginés utilisant un filtre passe-bas de réponse impulsionnelle g(t). Par analogie avec ce qui précède, on réalise alors :

$$X(t-t_0) = \sum_{k=-\infty}^{+\infty} x(kT_e)g(t-kT_e)$$

En fait, tous les systèmes de reconstruction peuvent s'exprimer sous cette forme. Pour des signaux à spectre passe-bande, on procède de manière similaire mais avec un filtre passe-bande.

# Reconstruction par approximation polynômiale:

éventuellement t'o le temps de calcul, dépend alors du choix de r et de m) : calculée en utilisant la méthode des polynômes de Lagrange (le retard Par m + 1 échantillons, on ne peut faire passer qu'un seul polynôme de d°m. Si les m + 1 échantillons  $x_{k,m}$  ...,  $x_k$  sont connus, une approximation de  $x(t-t_0)$  pour  $kt_0 \le t \le (k+1)t_0$  et  $0 \le t \le m$  peut être global: to = rTe +

M. Torriczak - est

#### Applications |RECONSTRUCTION (suite)

$$x(t-rT_{e}(-t'_{0})) = \sum_{i=0}^{m} x_{i+k-m} q_{m,i} [t-(k+r-m)T_{e}] \text{ avec} \begin{cases} q_{m,i}[t] = \prod_{\substack{i=0 \ n\neq i}}^{m} t-nT_{e} \\ q_{m,i}[t] = \prod_{\substack{i=0 \ n\neq i}}^{m} (i-n)T_{e} \end{cases} i = 0,...,m$$

extrapolation qui peut se ramener à la formule dite de Newton-Gregory: Pour  $r \neq 0$ , on obtient une interpolation (linéaire si r = 1, m = 1,  $t_0 = T_e$ ). Pour r = 0, on obtient une

$$x(t) = x_k + \frac{t - kT_e}{T_e} (x_k - x_{k-1}) + \frac{(t - kT_e)^2}{2!T_e^2} (x_k - 2x_{k-1} + x_{k-2}) + \dots$$

Cas particulier important: extrapolateur ou bloqueur d'ordre 0 (r = 0, m = 0). Celui-ci réalise:

$$x(t) = x_k$$
 pour  $kT_e \le t < (k+1)T_e$  On en déduit sa réponse impulsionnelle, puis sa FT :

$$B_0(s) = \frac{1 - e^{-sT_e}}{s}$$
 On en tire sa réponse fréquentielle :

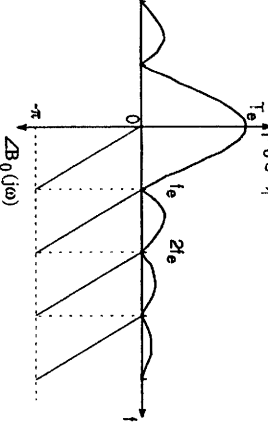
$$B_0(j\omega) = \frac{1 - e^{-j\omega T_e}}{j\omega} = T_e e^{-j\frac{\omega T_e}{2}} \underbrace{e^{j\frac{\omega T_e}{2}} - e^{-j\frac{\omega T_e}{2}}}_{2j\frac{\omega T_e}{2}} = T_e \underbrace{e^{-j\frac{\omega T_e}{2}}}_{inherent} \underbrace{\frac{\omega T_e}{2}}_{2j\frac{\omega T_e}{2}} = T_e e^{-j\pi t T_e} \sin \alpha (fT_e)$$

Echantillonnage / Reconstruction

# Applications

B<sub>O</sub>(jω) RECONSTRUCTION (fin)

34



approximation de la fonction de transfert ainsi souvent utilisé comme une déphasage linéaire). Ce retard pur est comparable à celle d'un retard pur fréquentielle du bloqueur d'ordre 0 est Ainsi le bloqueur d'ordre 0 est bien un Teexp(-sTe/2) (module constant Te filtre passe-bas. Dans la réquentielle d'intérêt, a réponse bande œ

Avec ce système de reconstruction, somme toute plutôt rudimentaire, il est clair que pour que le spectre du signal reconstruit soit proche du spectre du signal analogique de départ, la fréquence d'échantillonnage doit être nettement plus élevée que 2 f<sub>max</sub>. Dans la pratique, comme on le verra par la suite, cette règle doit être plus ou moins respectée quelque soit le système de reconstruction, car n'oublions pas que le théorème de Shannon repose sur un certain nombre d'hypothèses rarement /érifiées à la lettre.

maximale de reconstruction est donnée par : Avec le bloqueur d'ordre 0, seul l'échelon est parfaitement reconstitué. Une estimation de l'erreur  $= \max_{k} |x_{k+1} - x_{k}| \le T_{e} \cdot \max_{i} |x(t)|$ 

le Bo est-il de loin le système le plus employé. Souvent, on le fait suivre d'un filtre de lissage additionnel desquels les valeurs numériques sont maintenues pendant la durée du pas d'échantillonnage Te. Aussi La tonction de maintien inhérente au Bo est naturellement réalisée par les CNA standards, à l'entrée

pour atténuer les hautes fréquences indésirables dues à la variation en "escaliers" du signal de sortie Echanúllonnage / Reconstruction

### Applications PRE-FILTRAGE ANALOGIQUE

fréquences peuvent apparaître comme des basses fréquences à cause du repliement de spectre. Il est donc nécessaire d'effectuer un pré-filtrage analogique afin de supprimer tout risque de recouvrement sans devoir imposer une fréquence d'échantillonnage excessive. Le filtre utilisé est appelé filtre antigénéralement une composante à large bande due à la présence additionnelle de bruit de fond engendré dans le milieu de mesure, les capteurs, les amplificateurs, etc. Après échantillonnage, des hautes repliement ou fittre de garde ("anti-aliasing filter") res souvent, le spectre du signal à échantillonner n'est pas parfaitement connu. Il contient

Remarque : souvent, les capteurs analogiques comportent un filtre, qu'il est alors possible d'ajuster par

rapport à la fréquence d'échantillonnage. Le filtre anti-repliement idéal est le filtre passe-bas idéal (rectangulaire), de bande passante B = t<sub>e</sub>/2 =

passante limite B<sub>m</sub> au delà de B : In (fréquence de Nyquist). En pratique, le filtre comporte une bande de transition qui reporte la bande

Réponse fréquentielle du filtre : filtre idéal transition bande de filtre réel Avec un tel filtrage, on devra donc avoir en réalité :

La largeur de bande, la platitude dans la bande passante, l'atténuation, etc., dépendent du type de : 2B<sub>m</sub> > 2B

En l'absence de contraintes spécifiques, un filtre standard du 2ème ordre peut très bien faire l'affaire

filtre utilisé et de son ordre.

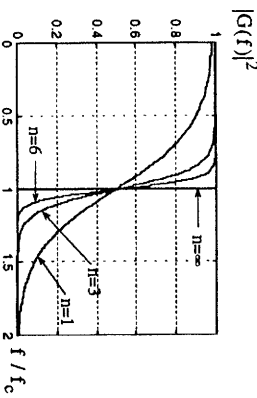


Echantillomage / Reconstruction

#### Applications PRE-FILTRAGE (suite)

filtres du 1er et/ou du 2ème ordre. Enfin, si ceia est nécessaire, on peut mettre en œuvre des filtres à haute performance (Bessel, Butterworth, Tchebycheff, Cauer, etc.). Le type de filtre est alors choisi en fonction de la caractéristique que l'on souhaite privilégier : platitude de la réponse fréquentielle dans la bande passante (Butterworth, Tchebycheff inverse), raideur à la fréquence de coupure (Legendre, à atténuation uniformément croissante, Tchebycheff et Cauer, qui présentent des ondulations), déphasage linéaire (Bessel : assimilable à un retard pur). Si l'on souhaite obtenir un filtre à atténuation plus forte, on peut bien sur mettre en cascade plusieurs

#### EXEMPLE:



Approximation de Butterworth de degré n :

$$|G(f)|^2 = \frac{1}{1 + (f/f_c)^{2n}}$$

d'atténuation de -20.n dB/décade pour f > fc. fréquence de coupure 1c et une pente asymptotique pande passante, avec atténuation Elle maintient une réponse plate optimale dans bande passante, avec atténuation de -3 dB à

Pour n = 2, on retrouve un cas particulier du filtre du 2ème ordre standard, avec :  $\zeta = \frac{\sqrt{2}}{2}$  et  $f_c = \frac{1}{2\pi RC}$ 

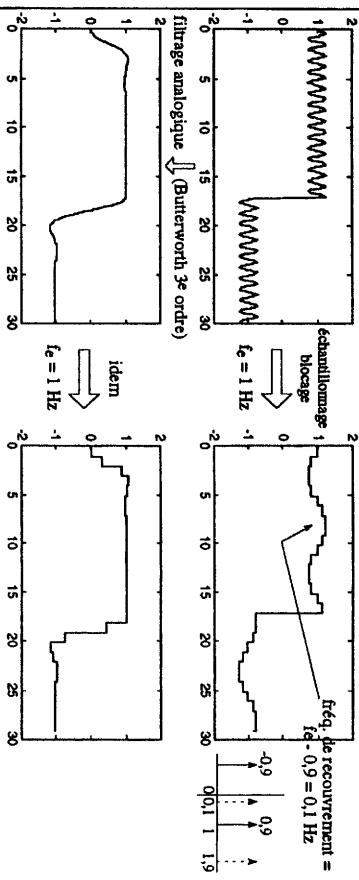
des systèmes. Etant assimilable à un retard pur, sa prise en compte dans le modèle commander est plus facile à réaliser, de plus, il entraîne moins de distorsion du signal. Remarque : Le filtre de Bessel revêt un intérêt particulier dans le cadre de la commande échantillonnée du systeme

M. Torrezak - esia

### Applications PRE-FILTRAGE (suite)

Utilité du préfitrage, illustration sur un exemple :

Soit un signal analogique composé d'une onde rectangulaire et d'une perturbation sinusoïdale à 0,9 Hz. On compare les résultats obtenus après échantillonnage à la fréquence de 1 Hz puis blocage d'ordre 0, dans les deux cas, c'est à dire avec et sans pré-filtrage :



Remarque : dans le contexte de la commande de processus, dans certains cas très particuliers, on ne peut pas effectuer de filtrage analogique tel qu'on la envisagé jusqu'à présent. Exemple : il n'est pas toujours techniquement possible de mesurer en ligne certaines caractéristiques (humidité par exemple) au sein d'un tlux de produit. Celui-ci est alors échantillonné pour analyse en laboratoire. Dans ce cas, il faut prendre plusieurs échantillons en considération et les mélanger avant analyse (ou prendre la valeur moyenne sur les différents échantillons).

M. Tomczak - esial

## Applications Choix de la fréq. d'échantillonnage

39

En pratique, il faut donc tenir compte de nombreux aspects, parfois contradictoires, parmi lesquels:

Les propriétés, spectrales essentiellement, du signal présence de perturbations haute fréquence,

- spectre passe-bas ou passe-bande,

#### La méthode de reconstruction

on peut retenir comme idée générale que plus on s'éloigne de l'interpolateur idéal, plus il faut prendre une marge importante par rapport à la condition de Shannon.

#### Les contraintes technologiques

- rapidité des divers organes : actionneurs, capteurs, convertisseurs, calculateur,
- emps de reconstruction.
- traitement du signal (vaste !), commande des systemes,

Les objectifs poursuivis, et notamment le but de la reconstruction

- identification des systèmes,
- sımulatıon des systemes.

**EXEMPLE:** Dans de nombreuses applications de traitement du signal, le critère de choix prépondérant de la fréquence d'échantillonnage est l'erreur entre le signal d'origine et le signal reconstruit. Ainsi, si le signal considéré est une sinusoïde pure de pulsation ω

 $\mathbf{x}(\mathbf{t}) = \sin \omega_0 \mathbf{t}$ Dans ce cas, Shannon indique :

Echantillomage / Reconstruction

Ceci est valable si on suppose une reconstruction idéale par ailleurs.

M. Tomczak - esial

 $\omega_e \ge 2\omega_0$ , soit

 $\frac{2\pi}{T_e} \ge 2\frac{2\pi}{T_0},$ 

 $\left(\frac{10}{T_e} \ge 2\right)$ 

## Applications PREFILTRAGE (fin), CHOIX DE fe

 $\frac{\omega}{\infty}$ 

Remarque: concernant la réalisation des filtres analogiques, tant que la fréquence de coupure est supérieure à 5 Hz, on peut généralement se contenier de réseaux passifs de type RC. Lorsque la fréquence de coupure est comprise dans l'intervalle 0,1 Hz à 5 Hz, des réseaux actifs (à base d'amplificateurs opérationnels) doivent être utilisés. Enfin, pour des fréquences de coupure inférieures à 0,1 Hz, les filtres analogiques sont généralement trop chers, on procède alors à un échantillonnage à 1,1 Hz, les filtres elevée suivi d'un filtrage numérique (on parle parfois de suréchantillonnage/filtrage). numerique).

# Aspects pratiques du choix de la fréquence d'échantillonnage

complexe, qui dépend de nombreux paramètres, et qui ne connaît pas de solution miracle qui s'énonce facilement ; chaque application constitue un cas particulier qu'il convient d'analyser avec soin. Toutefois, il existe des situations où le choix de t<sub>e</sub> n'est pas crucial, c'est à dire dans le sens où les D'un point de vue général, le choix de la fréquence d'échantillonnage adéquate est un problème simples peuvent être établies conséquences, sur le but poursuivi, d'un choix approximatif, restent limitées. Dans ce cas, des règles

celui-ci repose sur un certain nombre d'hypothèses. En théorie, on applique bien sûr le théorème de Shannon, mais il ne faut pas perdre de vue le fait que

En particulier, le théorème de Shannon suppose un spectre initial borné

• ceci implique, en pratique, un filtrage analogique et donc une modification des caractéristiques
du signal. Selon les cas, ces changements peuvent avoir des conséquences non-négligeables.

Dans le cas où une reconstruction est nécessaire, il suppose une reconstruction idéale Bien sur, dans la pratique, la reconstruction ne peut être que quasi-idéale, mais elle entraîne

tout de même un temps de reconstruction important (ce qui est loin d'être toujours acceptable)

Echantillonnage / Reconstruction

# Applications Choix de la fréq. d'échantillonnage

Mais, si le temps de reconstruction doit être court, il faut utiliser un système de reconstruction plus rudimentaire, tel un bloqueur d'ordre 0. L'échantillonnage selon Shannon se révèle alors largement insuffisant comme on va le voir. En utilisant l'expression de l'erreur de reconstruction introduite précédemment :

$$e_{B_0} = \max_{k} |x_{k+1} - x_k| \le T_e \cdot \max_{t} |x(t)|$$

On peut établir pour le signal sinusoïdal :  $e_{\mathbf{B}_0 \text{ max}} = \mathbf{T}_{\mathbf{e}} \cdot \max_{\mathbf{t}} \left[ \omega_0 \cos \omega_0 \mathbf{t} \right]$ 

11  $T_e \omega_0 =$ T<sub>0</sub> =

soit une erreur moyenne

il faut **N = 315 échantillons par période T<sub>0</sub>.** Ce nombre est à comparer avec les 2 échantillons par où N représente le nombre d'échantillons par période de la sinusoïde T<sub>0</sub>. Si on veut une erreur de 1 %, periode préconisés par le théorème de Shannon

De façon générale, en pratique, on retiendra la règle :

>> 2f<sub>max</sub>

#### Exemples:

Signal téléphonique, f<sub>max</sub> = 3400 Hz, normes internationales : f<sub>e</sub> = 8000 Hz

Signal vidéo TV,  $f_{max} \approx 5 \text{ MHz}$ ,  $f_{e} \approx 18 \text{ MHz}$ .

contexte de l'automatique, plus particulièrement en ce qui concerne la commande de systèmes échantillonnés. D'ores et déjà, il est clair que ce choix dépendra en grande partie des caractéristiques On abordera par la suite le problème spécifique du choix de la fréquence d'échantillonnage dans dynamiques du processus a commander

Echantillonnage / Reconstruction

M. Tomczak - esia

#### Applications

Transposition analog/numbr.

#### ntroduction :

Dans ce chapitre, on aborde le problème de transposition analogique/numérique qui consiste, comme son nom l'indique, à déterminer, si possible, l'équivalent numérique d'un système analogique donné. Ce problème se pose dans divers secteurs d'application, dès lors que l'on cherche à réaliser un système numérique qui fonctionne à peu près de manière identique à un système continu pris pour référence. En fait, si l'on voulait être précis, on devrait plutôt parler de discrétisation d'un système analogique, dans la mesure où l'opération de quantification n'est pas prise en compte. Dorénavant, on supposera que la quantification est suffisamment fine pour être négligée, et l'on utilisera indifféremment les deux expression:

différente, peuvent correspondre plusieurs variantes. Au total, il existe un grand nombre de techniques distinctes de discrétisation et il n'est pas question ici de les étudier toutes. En particulier, le domaine de la simulation numérique, c'est à dire sur calculateur, de systèmes continus fait appel à des question de la discrétisation peut être abordée selon plusieurs points de vue, et à chaque approche

algorithmes complexes, bien connus des spécialistes de l'analyse numérique, comme la **méthode de** Runge-Kurta, qui débordent du cadre de ce cours.

Remarque : la simulation est un problème plus général dans le sens où il s'agit d'obtenir la sortie d'un système continu pour des temps discrets, sans passer obligatoirement par les équations d'un système discret equivalent

On va se contenter ici d'étudier le problème de la discrétisation tel qu'il se pose dans deux applications

#### • en automatique :

la commande d'un système peut s'effectuer à l'aide d'un calculateur. Il est courant dans une telle situation, notamment pour des raisons historiques, de synthétiser un correcteur continu, puis de discrétiser le résultat afin d'implanter le correcteur sous forme numérique sur le calculateur. On parle alors de discrétisation de lois de commande continues

9 traitement du signal : également pour d'évidentes raisons historiques, une méthode de numérique très usitée consiste à s'inspirer d'un filtre analogique donné. des filtres numériques RII donc récursit . Cette approche conduit synthèse d'un

ransposition analogique/numérique

M. Tomczak - esia

#### Applications | Formulation (2) / Cas de la commande 43

Dans ce cas particulier, on recherche l'équivalence :



Cette fois, l'équivalence est considérée du point de vue numérique. Fondamentalement, le problème reste inchangé, et encore une tois, il ne peut y avoir qu'une équivalence approximative puisqu'il est impossible, dans le cas du schéma de gauche, d'établir une fonction de transfert en z entre l'entrée et la

En effet, dans le second cas, on a directement: Y(z) =D(z).E(z)premier cas, on a: alors que dans le U(z) =Z[F(s), E(s)]

peut trouver des solutions exactes mais valables uniquement pour une entrée donnée Remarque : comme on le verra plus tard, dans le cas du schéma 1 comme dans le cas du second, on

A présent, on va examiner plus précisément le contexte donnant lieu à une transr analogique/numérique dans le cas de la commande échantillonnée et dans le cas du filtrage linéaire. une transposition

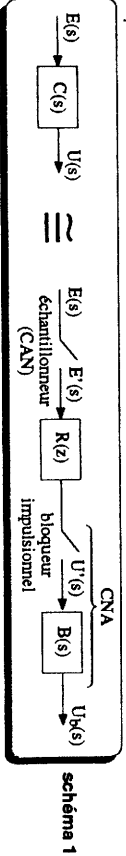
# Cas de la commande numérique (schéma 1)

Dans le cas de la commande des systèmes, le système de FT C(s) représente un correcteur, ou régulateur, analogique, dont la sortie U(s) est la loi de commande continue appliquée au système à régular (SAR). La FT R(z) représente alors le régulateur numérique correspondant, dont le signal de sortie doit être reconstruit, en général avec un bloqueur d'ordre 0, pour pouvoir être appliqué au SAR, qui est bien sûr continu. Deux cas de figure peuvent amener à considérer le problème de discrétisation :

lransposition analogique/numenque

#### Applications |Formulation du problème (1)

Bien que les objectifs et les contraintes soient différents selon que l'on s'intéresse à la synthèse d'un filtre numérique ou bien à la commande numérique d'un système, le problème de la discrétisation peut s'énoncer de manière similaire dans les deux contextes. En fait, on cherche le système numérique possédant les mêmes propriétés qu'un système analogique de référence, ce qui correspond à l'équivalence entre les deux schémas suivants :



Ainsi, à une loi de nature continue, on désire substituer un ensemble constitué d'un CAN suivi d'un système numérique et d'un CNA (comprenant un bloqueur B(s)). On peut immédiatement constater que équivalence entre les deux schémas ne peut être qu'approximative. En effet, si l'on calcule la

(monolatère) de u<sub>b</sub>(t), il vient :

précédemment pour la bilatère (Signaux 4, p. 55) Ce résultat est à comparer celui etabli

$$\begin{bmatrix} U_b(s) = B(s).R(e^{sT_e}).\left[\left(\frac{1}{2}e(0^+) + \right)\frac{1}{T_e}\sum_{n=-\infty}^{+\infty}E\left(s - \frac{2\pi in}{T_e}\right)\right] \\ \frac{si d^\circ d\acute{e}n.de}{E>d^\circ num. +1} \end{bmatrix}$$

tels que la relation entre U(s) et E(s) soit préservée au mieux. ll est clair que, contrairement au cas du schéma de gauche, dans le cas de celui de droite, l'on ne peut définir de fonction de transfert en TL entre l'entrée et la sortie. Il s'agit donc de **déterminer R(z) et B(s)** 

pas le fond du problème. alors ramené à une situation légèrement différente Dans le cas particulier de la synthèse de filtres, on n'a pas toujours besoin de procéder reconstruction du signal de sortie (ce qui est bien sûr impensable en commande échantillonnée). O (voir schéma page suivante), mais qui ne change On est ሙ

ransposition analogique/numérique

M. Tomczak - esial

# Applications |Cas de la commande numérique (2)

□ En matière de commande numérique des systèmes, deux approches sont possibles :

- la synthèse directe : la synthèse du correcteur s'effectue directement dans le domaine numérique, à partir d'un modèle discrétisé du SAR. Bien que sur le papier, cette approche ait le en compte uniquement d'un modèle "stroboscopique" du SAR, mérite d'exploiter pleinement les possibilités offertes par le numérique, elle reste peu utilisée pour diverses raisons : faisabilité, prédominance de la commande PID, issue du continu, prise nouveauté pour les ingenieurs,
- la synthèse indirecte: la synthèse du correcteur s'effectue classiquement dans le domaine analogique, éventuellement en prenant en compte les éléments supplémentaires, propres au cette approche ne permet que de faire du "sous-analogique", puisque la discrétisation est préalable et maturité des méthodes de régulation analogiques, savoir-faire "continu" des ingénieurs, prépondérance dans l'industrie de la régulation PID), et pratiques (elle a l'avantage de "coller" à la réalité d'un SAR qui répétons-le est continu). C'est évidemment dans cette de "coller" à la réalité d'un SAR qui répétons-le est continu). approximative, c'est toutetois la plus répandue, pour des raisons historiques (développement numérique (filtres anti-repliement, convertisseurs), et on discrétise le résultat. En quelque sorte, approche indirecte que se pose le problème de la discrétisation.

Parfois, il s'agit simplement de remplacer un régulateur analogique existant, par un numérique, moins cher, plus souple, et plus fiable. Si le correcteur analogique (un PID le p souvent l) fonctionne de manière satisfaisante, il est intéressant, dans ce cas, de disposer méthodes de discrétisation, afin de ne pas avoir à recommencer la synthèse du correcteur dans domaine discret. En fait, on est ici confronté à un problème de synthèse indirecte non-préméditée regulateur suld

Lors d'une synthèse indirecte, et avant d'opèrer la discrétisation proprement dite, deux approches

- sont possibles: ◆ la première a pour objet de discrétiser le correcteur analogique déterminé de façon
- la deuxième consiste conventionnelle, sans s'occuper du convertisseur, donc du bloqueur, en avai bloqueur/SAH, avant de le discrétiser. déterminer le correcteur analogique pour commander l'ensemble

Transposition analogique/numérique

45

La deuxième approche est bien sûr préférable, en raison notamment de l'influence du bloqueur sur les marges de stabilité du système. Une façon de procéder est alors de modifier le correcteur analogique en tenant compte de la présence du bloqueur et de manière à fixer des marges adéquates. Afin de simplifier la démarche, la prise en compte du bloqueur, en principe d'ordre 0, s'effectue en remplaçant la FT Bo(s) par une approximation

$$B_0(s) = \frac{1 - e^{-sT_e}}{s} \approx T_e e^{-\frac{sT_e}{2}}$$
 retain

Pour plus de précision, on peut aussi utiliser :

$$B_0(s) \approx \frac{T_e}{1+s\frac{T_e}{2}}$$
 ou bien  $\frac{1_e}{1+s\frac{T_e}{2} + \frac{(sT_e)^2}{12}}$ 

Ces deux demières relations reposent sur les approximations de Padé:

$$e^{-ST} \approx \frac{1 - \frac{ST}{2}}{1 + \frac{ST}{2}} \text{ et } e^{-ST} \approx \frac{1 - \frac{ST}{2} + \frac{(ST)^2}{12}}{1 + \frac{ST}{2} + \frac{(ST)^2}{12}}$$

□ La deuxième approche suppose la période d'échantillonnage connue à l'avance.
□ Pour être vraiment rigoureux, il peut être nécessaire de prendre également en compte, lors de la synthèse du correcteur analogique, l'adjonction de filtres anti-repliement.
□ Si, la première approche est retenue, il convient au moins de vérifier a posteriori que

adjonction du bloqueur ne dégrade pas abusivement les performances du système continu.

ransposition analogique/numerique

### Applications Les méthodes de discrétisation

On passe à présent en revue les principales méthodes de discrétisation couramment utilisées en filtrage et en commande numériques. Quelque soit la méthode choisie, il taut garder à l'esprit que le système, ou le filtre, numérique obtenu présente une réponse fréquentielle périodique. Par conséquent, le choix de la fréquence déchantillonnage doit s'effectuer notamment de manière à éviter tout phénomène de recouvrement dans la bande passante. Il faudra aussi s'arranger pour que la fréquence de coupure (ou la fréquence "utile") soit suffisamment faible par rapport à la fréquence de Nyquist.

# Techniques spécifiant la nature du signal d'entrée

On a vu précédemment (schéma 1) que l'on ne pouvait définir de transmittance en TL strictement équivalente à C(s). On modifie le schéma pour que l'équivalence en discret apparaisse naturellement, en rajoutant un échantillonneur bloqueur fictif

Cette fois, on a bien une fonction de transfert en z entre E'(s) et U'(s), qui dépend du bloqueur choisi qui représente l'équivalent R(z) cherché :

$$R(z) = Z[B(s)C(s)]$$

coïncide, aux instants d'échantillonnage, avec la réponse du système analogique de référence à un signal d'entrée donné. Différentes variantes peuvent être envisagées suivant la forme du signal d'entrée choisie. En générai, on se limite à considérer le cas de l'impulsion, de l'échelon, voire de la rampe. Interprétation : cette méthode revient à réaliser un correcteur ou un filtre numérique dont la réponse

fransposition analogique/numérique

## Applications **|Cas du filtrage (schémas 1 et 2)**

déterminer les coefficients d'un filtre causal RIF ou RII dont la réponse fréquentielle approche au mieux ces spécifications. Le choix d'une structure RIF ou RII dépend de la nature du problème et des caractéristiques fréquentielles désirées. En général, les filtres RIF, non-récursifs, sont utilisés lorsqu'un déphasage linéaire dans la bande passante est nécessaire. En l'absence d'une telle contrainte, on peut utiliser indifféremment l'une ou l'autre structure. synthèse d'un filtre, les caractéristiques souhaitées sont spécifiées dans le domaine

Du fait de la maturité et des avancées de la théorie et de la pratique du filtrage analogique, il est courant d'effectuer la synthèse du filtre dans le domaine analogique, puis de discrétiser le résultat. Dans ce cas, on aboutit à un filtre RII.

#### Remarques:

□ Le respect de la réponse fréquentielle du filtre analogique de référence par le filtre numérique équivalent est ici un problème bien plus crucial qu'en commande des systèmes.

□ A l'instar de ce qui se passe en commande, on peut effectuer la synthèse d'un filtre numérique directement dans le domaine discret.

Dans le cas de la synthèse directe, on utilise parfois (programmation non-linéaire) tels que l'algorithme de Remez. des méthodes d'optimalisation

discrétisation sont utilisées indifféremment dans l'une ou l'autre situation. En revanche, certaines sont plutôt propres au domaine du filtrage et ne seront pas abordées en détail dans ce chapitre. Il s'agit Malgré les différences entre le cas du filtrage et celui de la commande, de nombreuses techniques de notamment des méthodes suivantes

troncature, à l'aide d'une fenêtre donnée (rectangulaire, triangulaire, de Hamming, de Blackman, etc.). **Approximation impulsionnelle (méthode des fenêtres) : elle consiste à discrétiser la réponse** impulsionnelle du filtre analogique de référence. Celle-ci étant généralement infinie, on procède à une

donné de points de la réponse en fréquence d'un filtre de référence. **Technique d'échantillonnage en fréquence :** elle revient à chercher un filtre passant par un nombre

l ransposition analogique/humenque

### Applications Méthodes à entrée imposée

INVARIANCE IMPULSIONNELLE : c'est l'approximation par la transformée en z, en effet, on a :

$$R(z).Z[\delta_k] = Z[C(s)L[\delta(t)]], \text{ soft } \left[R(z) = Z[C(s)]\right]$$

La réponse fréquentielle  $R(z=exp(j\omega T_e))$  est différente de  $C(s=j\omega)$ , notamment en haute fréquence (i.e. au voisinage de la fréquence de Nyquist). De plus, le gain statique ( $\omega = 0$ ) n'est pas conservé

$$\mathsf{mple}: \ \frac{1}{s+a} \to \mathsf{K}_{s=0} = \frac{1}{a}: \ Z \bigg| \frac{1}{s+a} \bigg| = \frac{1}{1-e^{-aT_e}z^{-1}} \to \mathsf{K}_{z=1} = \frac{1}{1-e^{-aT_e}}$$

INVARIANCE INDICIELLE : on a alors la contrainte

$$R(z).Z[1_{k}] = Z[C(s)L[1(t)]], \text{ d' où } R(z).\frac{1}{1-z^{-1}} = Z[C(s).\frac{1}{s}]$$

$$R(z) = (1 - z^{-1})Z\left[\frac{C(s)}{s}\right]$$
 ce que prété sont

Se.

ce qui revient à prendre B(s) = B<sub>0</sub>(s). Cette approche es préférable, le B<sub>0</sub> étant un passe-bas, les hautes tréquences sont atténuées, ce qui limite les éventuels recouvrements et

donc augmente la plage de fréquence dans laquelle l'approximation est acceptable. De plus, le statique est conservé, en effet :

$$\lim_{k\to\infty} \left\{ r\acute{e}p_{ind}\left(kT_e\right) \right\} = \lim_{z\to 1} \left\{ (1-z^{-1})Z[r\acute{e}p_{ind}\left(kT_e\right)] \right\} = \lim_{z\to 1} \left\{ (1-z^{-1})\frac{R(z)}{(1-z^{-1})} \right\} = \lim_{z\to 1} R(z)$$
 
$$et \lim_{t\to\infty} \left\{ r\acute{e}p_{ind}\left(t\right) \right\} = \lim_{s\to 0} \left\{ s.L[r\acute{e}p_{ind}\left(t\right)] \right\} = \lim_{s\to 0} \left\{ s\frac{C(s)}{s} \right\} = \lim_{s\to 0} C(s)$$

gong  $\lim_{z \to 1} R(z) = \lim_{s \to 0} C(s) \text{ et notamment}$  $\lim_{\omega \to 0} R(z = e^{j\omega T_e}) = \lim_{\omega \to 0} C(s = j\omega) = K_{stat}$ 

#### Applications |Méth. à entrée imposée / Corresp. P-Z | 49

INVARIANCE DE LA RAMPE : toujours selon le même principe, on obtient :

$$R(z) = \frac{(1 - z^{-1})^2}{T_e z^{-1}} Z \left[ \frac{C(s)}{s^2} \right]$$

Cette méthode est censée être mieux adaptée à des signaux à variations rapides, mais elle est assez peu utilisée en pratique. On rencontre parfois une variante, de

$$R(z) = \frac{(1 - z^{-1})^2}{T_e} Z \left[ (1 + sT_e) \frac{C(s)}{s^2} \right]$$

transformé en un pôle z<sub>i</sub> = exp(s¡T<sub>e</sub>). Par conséquent, elles préservent la stabilité (l'équivalent discret d'un système continu stable est lui-même stable). Remarque : toutes les méthodes de cette famille conservent les pôles, c'est à dire qu'un pôle si est

## Correspondance Pôles - Zéros

Il s'agit d'une méthode heuristique, ne reposant pas sur un raisonnement théorique. On part du constat suivant : on sait que les pôles en s (si) sont liés aux pôles en z (zi), par la relation  $z_i = \exp(s_i T_e)$ . Cette correspondance n'existe pas pour les zéros. Exemple :

$$Z\left[\frac{(s+1)}{s^2}\right] = \frac{z(z+T_e-1)}{(z-1)^2}$$
 un zéro en s = -1 un zéro à l'origine 
$$(+ un \text{ "zéro infini"}) \quad z = e^{sT_e} = 0 \rightarrow s = -\infty$$
 un zéro en 1- $T_e \neq \exp(-T_e)$ 

Fransposition analogique/numérique

Par ailleurs, des zéros supplémentaires sont introduits par l'échantillonnage", l'zéros d'échantillonnage", intuitivement, on comprend bien que les pôles caractérisent le régime libre d'un système, alors que les zéros influent sur le régime forcé c'est à dire dépendant de l'entrée. Or les entrées appliquées au système sont différentes par nature dans le cas continu et dans le En fait, on montre qu'on a zi = exp(siTe) pour Te petit

#### Applications ( | Méthodes de quadrature

Sachant que 1/s correspond à un opérateur d'intégration, les différentes approximations discrètes de l'intégration (méthode des rectangles, des trapèzes, etc.) fournissent autant de façons de remplacer s par un équivalent en z.

# APPROXIMATION RECTANGULAIRE (backward rectangular)

"L'intégrale" xk de ek est ici donnée par :  $x_k = x_{k-1} + T_e e_k = x_{k-1} + T_e \dot{x}_k$ 

ce qui revient à remplacer

 $\frac{dx(t)}{dt} \text{ par } \frac{x_k - x_{k-1}}{T_e}$ c'est à dire que l'on pose  $S \cong \frac{Z-1}{T_e Z}$ 

ou bien, de manière équivalente :  $|z=e^{ST}e$ IR

condition de stabilité en continu étant donnée par : On peut alors se demander quelle est l'influence de cette transformation rectangulaire sur la stabilité. La

 $\Re\{s\}$  < 0 , on est amené à vérifier :

 $\Re\left\{\frac{z-1}{zT_e}\right\} < 0$  , soit, en posant  $z = \sigma + jw$ 

 $\rightarrow \frac{\sigma^2 - \sigma + w^2}{}$  $\Re\left\{\frac{\sigma+jw-1}{\sigma+jw}\right\}<0 \to \Re\left\{\frac{(\sigma+jw-1)(\sigma-jw)}{(\sigma+jw)(\sigma-jw)}\right\}<0 \to \Re\left\{\frac{\sigma^2-\sigma+w^2+jw)}{\sigma^2+w^2}\right\}<0$  $\sigma^2 + w^2$  $\frac{2}{c} < 0 \rightarrow \left(\sigma - \frac{1}{2}\right)^2 + w^2 < \left(\frac{1}{2}\right)^2$  disque de rayon  $\frac{1}{2}$  centré sur  $\sigma = \frac{1}{2}$ , w = 0

fransposition analogique/numérique

M. Tomczak - esiał

### Applications | Correspondance Pôles - Zéros

introduire un facteur multiplicatif de façon qu'à basse fréquence (ou à une fréquence particulière donnée), R(z) présente le même gain que C(s).

Exemple : correcteur à avance (a<b) ou à retard (a>b) de phase "'idée est d'imposer tout de même la relation z₁ = exp(s₁Te) aux pôles et aux zéros, quitte à

 $C(s) = \frac{s+a}{s+b}$  $p_1 = -b, z_1 = -a \rightarrow p'_1 = e^{-bT}e, z'_1 = e^{-aT}e$ 

C(s = $j\omega = 0$ )  $\equiv R(z = e^{j\omega T_e} = 1)$  $z-e^{-bT_e}$ 

On aboutit à la forme :

 $z - e^{-aT_e}$ 

On ajuste alors le gain en basse fréquence (ou à une fréquence donnée) :

ici,  $C(s=0) = \frac{a}{b} \rightarrow \text{ on multiplie par } \frac{a}{b} \cdot \frac{1-e^{-c}}{1-e^{-a}T_e}$  $z - e^{-aT_e}$  $1-e^{-bT_e}$ 

C(s) tend vers zéro quand s tend vers l'infini. On convient dans ce cas de multiplier R(z) par (z+1)q-p. En effet, s  $\rightarrow \infty$  correspond en numérique à  $\omega \rightarrow \omega_{max} = \pi T_6$  (pulsation de Nyquist), soit z = Remarque : si le d° q du dénominateur de C(s) est strictement supérieur au d° p du numérateur, alors <u>م</u> 2 R(z) = $= \frac{a}{b} \cdot \frac{1 - e^{-bT_e}}{1 - e^{-aT}}.$  $1-e^{-aT_e}$   $Z-e^{-bT_e}$ 

correspond à la réponse fréquentielle analogique pour ω compris entre 0 et l'infini. Ainsi, il n'y a pas Avec cette méthode, la réponse tréquentielle du système discret pour  $\omega$  compris entre 0 et  $\omega_0/2$  $\exp(i\omega_{\max}T_e) = -1$ . On s'arrange donc pour que R(z = -1) = 0. Bien sûr, il faut tenir compte de ce facteur lors de l'ajustement en basse fréquence, ce qui revient à multiplier en fait par : g G

recouvrement spectral possible, et la forme générale de la réponse fréquentielle est conservée, sûr, la stabilité est parfaitement conservée. Bien

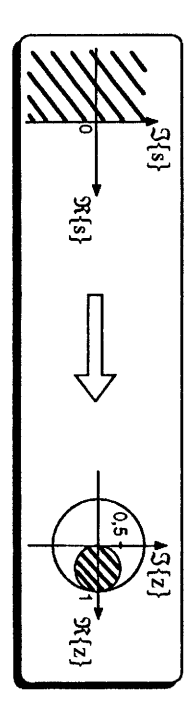
l ransposition analogique/numénque

M. Tomczak - esia

#### M. Tomczak - esia

#### Applications ( | Méthodes de quadrature (2)

Ainsi, le demi-plan gauche de Laplace est transformé en ce disque dans le plan en z, l'axe imaginaire, limite de stabilité, correspondant pour sa part au cercle. Par conséquent, le cercle de rayon 1/2 étant compris à l'intérieur du cercle unitaire, la transformation rectangulaire conserve la stabilité.



# APPROXIMATION D'EULER (forward rectangular) :

Une autre forme d'approximation rectangulaire est l'approximation d'Euler, qui exprime la dérivée par :

 $|s| \leq \frac{z-1}{T}$  i.e  $z \leq 1 + sT_e$ 

 $\frac{\mathrm{dx}(t)}{\mathrm{dx}} = \frac{\mathrm{x}_{k+1} - \mathrm{x}_k}{\mathrm{T}}$ 

Sur le plan de la stabilité, un raisonnement similaire au précédent aboutit au résultat suivant:  $\Re\{s\} < 0 \rightarrow \Re\{z\} < 1$ 



Transposition analogique/numérique

M. Torrezak - esia

#### Applications ( ] Méthodes de quadrature (3)

53

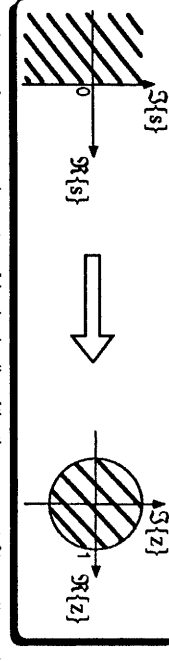
Par conséquent, avec cette méthode, l'équivalent discret d'un système continu stable ne l'est pas forcément. En pratique, cette approche n'est utilisée que pour discrétiser des systèmes intégrateurs purs (action I d'un PID).

APPROXIMATION TRAPÉZOIDALE (dite aussi approximation de Tustin ou transformée bilinéaire)

Cette fois, on a: 
$$x_k = x_{k-1} + \frac{T_c}{2} (\dot{x}_k + \dot{x}_{k-1})$$
 d'où s.

$$\operatorname{d'ou}\left\{s \cong \frac{2}{T_e} \frac{z-1}{z+1} \text{ i.e. } z \cong \frac{1+sT_e/2}{1-sT_e/2}\right\}$$

Encore une fois par un raisonnement similaire, on montre que l'approximation trapézoïdale conserve parfaitement la stabilité puisque le demi-plan gauche de Laplace est transformé en disque unitaire dans le plan en z.



compensation de distorsion. Remarque : les performances de cette méthode de discrétisation peuvent être nettement améliorées en corrigeant la distorsion de fréquence introduite par la transformation. C'est l'objet de la pré-

l ransposition analogique/numérique

M. Tomczak - esial

#### Applications 3. | Méthodes de quadrature (4)

54

PRE-COMPENSATION DE DISTORSION (prewarping)

Posons  $s = j\omega_A$  et  $z = exp(j\omega_D T_e)$ . La transformée bilinéaire précédente s'écrit :

$$\begin{split} &j\omega_{A} \cong \frac{2}{T_{e}} \frac{1 - e^{-j\omega_{D}T_{e}}}{1 + e^{-j\omega_{D}T_{e}}} = \frac{2}{T_{e}} \frac{e^{-j\omega_{D}T_{e}/2}(e^{j\omega_{D}T_{e}/2} - e^{-j\omega_{D}T_{e}/2})}{T_{e}^{-j\omega_{D}T_{e}/2}(e^{j\omega_{D}T_{e}/2} + e^{-j\omega_{D}T_{e}/2})} = \frac{2}{T_{e}} \frac{2j\sin(\omega_{D}T_{e}/2)}{2\cos(\omega_{D}T_{e}/2)} \\ &\cong j\frac{2}{T_{e}} tan \bigg(\frac{\omega_{D}T_{e}}{2}\bigg) \qquad \text{d'où l'on tire}: \qquad \bigg(\omega_{A} \cong \frac{2}{T_{e}} tan \bigg(\frac{\omega_{D}T_{e}}{2}\bigg)\bigg) \end{split}$$

Cette dernière relation représente la distorsion de fréquence introduite par la transformée bilinéaire. Si R(z) est la FT de l'équivalent discret du système continu de FT C(s), on aura :

$$(< \omega_N = \omega_e/2)$$
, on a:  $\omega_A \cong \frac{2}{T_e} \frac{\omega_D I_e}{2} = \omega_D$ 

$$\frac{1}{1}$$
 2 years introduite par la transform

Si  $\omega_D T_e$  petit (i.e  $\omega_D << \omega_N = \omega_e/2$ ), on a:  $\omega_A \cong \frac{2}{T_e} \frac{\omega_D T_e}{2} = \omega_D$ La distorsion est donc faible à basse fréquence. Pour les fréquences plus élevées, on peut minimiser le phénomène de distorsion dans une bande fréquentielle d'intérêt en effectuant une précompensation, donc avant transformation. Par exemple, si la puisation de coupure du système continu est  $\omega_c$ , le système discrétisé coupera en  $\omega_c$  tel que :  $\omega_c = \frac{2}{2} \frac{\omega_D T_e}{2} = \omega_D$ 

the rectangle is a pursuion de coupure du systeme or coupure 
$$\omega_c = \frac{2}{T_e} \tan \frac{\omega_c}{2}$$
 i.e.  $\omega_c = \frac{2}{T_e} \arctan \frac{\omega_c}{2}$ 

facteur d'échelle α tel que : Pour éliminer la distorsion à  $\omega_{
m c}$  ou à une pulsation spécifique  $\omega_1$ , on modifie la transformée avec un

$$j\omega_1 = \alpha j \frac{2}{T_e} \tan \frac{\omega_1 T_e}{2} \quad \text{d'où} \quad \alpha = \frac{T_e}{2} \frac{\omega_1}{\tan \frac{\omega_1 T_e}{2}}$$

Transposition analogique/numérique

$$= \frac{T_e}{2} \frac{\omega_1}{\omega_1 T_e}$$
 est alors donnée

est alors donnée par : La transformée modifiée SIR

$$\mathbf{s} \triangleq \frac{\omega_1}{\tan \frac{\omega_1 T_e}{2}} \frac{z - 1}{z + 1}$$

#### Motivations - Définition :

Dans tous les champs d'application du traitement du signal, la Transformée de Fourier revêt une grande importance. Elle est particulièrement utile, voire indispensable, dans les domaines du filtrage linéaire, de l'analyse de corrélation et de l'analyse spectrale notamment. Pour un signal discret, on a établi précédemment (Signaux 1.26):

 $X(f) = \sum_{n=0}^{+\infty} x(n)e^{-j2\pi nf}$  $x(n) = \int X(f)e^{j2\pi nf} df$ 

**Problème :** si on travaille en numérique, par exemple sur un ordinateur, ces deux relations présentent deux difficultés : la fréquence f varie continûment, et le nombre d'échantillons x(n) est infini.

on suppose le signal x(n) de durée limitée. La discrétisation s'effectue avec un pas d'échantillonnage Δf = 1/N, c'est à dire que l'on considère N Solution : on va discrétiser la fréquence c'est à dire effectuer un échantillonnage dans le domaine fréquentiel (NB : on sait, v. 1.28-29, que ceci entraîne une périodisation dans le domaine temporel), et points entre 0 et 1 :

$$f=rac{k}{N}, \ k=0,1,...,N-1$$
 soit, si l'on travaille en pulsation :  $\Delta\omega=rac{2\pi}{N}$  nditions, les deux relations précédentes peuvent s'écrire :

Dans ces conditions, les deux relations précédentes peuvent s'écrire

$$X(\frac{k}{N}) = X(k) = X_k = \sum_{n = -\infty}^{+\infty} x(n)e^{-j2\pi \frac{k}{N}n} \qquad \hat{x}(n) = \hat{x}_n = \frac{1}{N} \sum_{k=0}^{N-1} X(k)e^{j2\pi \frac{k}{N}n}$$

ransformée de Fourier Discrète (TFD)

Applications (4.

| Motivations - Définition (fin)

#### Applications 4. ) | Motivations - Définition (suite)

56

On peut d'emblée noter que le signal discret X(n) précédent est N-périodique :

 $\hat{\mathbf{x}}(\mathbf{n}+\mathbf{N}) = \frac{1}{N} \sum_{k=0}^{N-1} \mathbf{X}(k) e^{j2\pi \frac{k}{N}(\mathbf{n}+\mathbf{N})} = \frac{1}{N} \sum_{k=0}^{N-1} \mathbf{X}(k) e^{j2\pi \frac{k}{N}} \frac{e^{j2\pi k}}{e^{j2\pi k}}$ =1, k entier  $=\hat{\mathbf{x}}(\mathbf{n})$ 

Il est donc clair que, dans le cas général :  $(\hat{x}(n) \neq x(n))$ 

On peut toutefois se poser la question suivante : dans quel cas a-t-on l'égalité des 2 signaux sur une période ? Commençons par écrire la relation qui existe entre les deux :

$$\hat{x}(n) = \frac{1}{N} \sum_{k=0}^{N-1} \sum_{m=-\infty}^{+\infty} x(m) e^{-j2\pi \frac{k}{N} m} e^{j2\pi \frac{k}{N} n} = \sum_{m=-\infty}^{+\infty} x(m) \left[ \frac{1}{N} \sum_{k=0}^{N-1} e^{-j2\pi \frac{k}{N} (m-n)} \right]$$

Rappel:  $\sum_{k=0}^{N-1} a^{k} = \begin{cases} N & a=1\\ \frac{1-a^{N}}{1-a} & a \neq 1 \end{cases}$ 

multiple de N et, par ailleurs  $a^N = 1$ . On en tire : Si a est de la forme  $e^{-j2\pi\frac{m-n}{N}}$ , on a a = 1 pour m - n

$$\frac{1}{N} \sum_{k=0}^{N-1} e^{-j2\pi \frac{m-n}{N}k} = \begin{cases} 1\\ 0 \text{ sino} \end{cases}$$

 $\frac{1}{N}\sum_{k=0}^{N-1}e^{-j2\pi\frac{m-n}{N}k}=\begin{cases}1&m-n=iN,\ i\ entier\\0&sinon\ (somme\ vectorielle\ des\ racines\ Nièmes\ de\ 1)\end{cases}$ 

 $\hat{\mathbf{x}}(\mathbf{n}) = \sum_{i=1}^{+\infty} \mathbf{x}(\mathbf{n} + i\mathbf{N})$ 

D'où finalement:

fransformée de Fourier Discrète (TFD)

M. Tomczak - esial

#### Applications 4. Propriétés de la TFD

58

Il s'agit de propriétés homologues de celles vues dans le cas de la Transformée de Fourier

X(k+N)=X(k) et x(n+N)=x(n)

 $X(k+N) = \sum_{n=0}^{N-1} w_N^{n(k+N)} x(n) = \sum_{n=0}^{N-1} w_N^{nk} w_N^{nN} x(n) = \sum_{n=0}^{N-1} w_N^{nk} x(n) = X(k), \text{ car } w_N^{nN} = 1$ 

 $\text{De même}: \ x(n+N) = \frac{1}{N} \sum_{k=0}^{N-1} w_N^{-k(n+N)} X(k) = \frac{1}{N} \sum_{k=0}^{N-1} w_N^{-nk} w_N^{-kN} X(k) = x(n).$ 

En posant  $w_N = e^{-j\frac{2^{n}}{N}}$ , il vient :  $x(n) = x_n = \frac{1}{N} \sum_{k=0}^{N-1} X_k w_N^{-nk}$ , n = 0, 1, ..., N-1

Paire de TFD d'ordre N

On note aussi:  $F_D[x(n)] = X(k)$ 

 $X(k) = X_k = \sum_{n=0}^{N-1} x_n w_N^{nk}, \quad k = 0, 1, ..., N-1$ 

 $x(n) = \frac{1}{N} \sum_{k=0}^{N-1} X(k) e^{j2\pi \frac{K}{N}n}, \quad n = 0, 1, \dots, N-1 \; ; \quad X(k) = \sum_{n=0}^{N-1} x(n) e^{-j2\pi \frac{k}{N}n}, \quad k = 0, 1, \dots, N-1$ 

Finalement, si le signal x(n) est tel qu'il s'annule à partir de n = N, on peut écrire n = N. Dans ce cas, on a également :  $\hat{x}(1) = x(1), \hat{x}(2) = x(2),...$  On aura  $\hat{x}(0) = x(0)$  si x(N) = x(-N) = ... = 0, c'est à dire si le signal x(n) s'annule à partir de Ainsi, par exemple pour n = 0, on en déduit :  $\hat{x}(0) = x(0) + x(N) + x(-N) + x(2N) + x(-2N) + ...$ 

On peut aussi écrire la TFD sous forme matricielle. Soient  $\chi$  le vecteur colonne de dimension constitué des  $\chi(n)$  et  $\chi$  le vecteur colonne de dimension N contenant les  $\chi(k)$ , on a :

Linéarité:  $F_D[x(n) + \lambda y(n)] = F_D[x(n)] + \lambda F_D[y(n)]$ 

En effet :  $F_D[x(n) + \lambda y(n)] = \underline{W}(\underline{x} + \lambda \underline{y}) = \underline{W}\underline{x} + \lambda \underline{W}\underline{y} = \underline{X} + \lambda \underline{Y}$ 

Translation temporelle circulaire :  $F_D[x(n-m)_N] = w_N^{mk}X(k)$ 

 $F_D\big[x(n-m)\big] = \sum_{n=0}^{\Delta N-1} w_N^{nk} x(n-m) = \sum_{\lambda=-m}^{\lambda=n-m} w_N^{(\lambda+m)k} x(\lambda) = w_N^{mk} \sum_{\lambda=-m}^{N-1-m} w_N^{\lambda k} x(\lambda)$  $= w_N^{mk} \begin{bmatrix} -1 & \lambda = m \\ \sum_{\lambda=-m}^{N} w_N^{\lambda k} x(\lambda) + \sum_{\lambda=0}^{N-m-1} w_N^{\lambda k} x(\lambda) \end{bmatrix}$ 

l'ansformée de Fourier Discrète (TFD)

pour tout i et donc :  $W = W^T$ ¦(ième ligne = ième colonne

On en tire notamment:  $\underline{\mathbf{X}} = \underline{\mathbf{W}}\underline{\mathbf{x}} = \underline{\mathbf{W}}\frac{1}{\mathbf{N}}\underline{\mathbf{W}}^*\underline{\mathbf{X}}, \text{ d'où }\underline{\mathbf{W}}\underline{\mathbf{W}}^* = \mathbf{N}.\mathbf{I} \text{ et }\underline{\mathbf{W}}^{-1} = \frac{1}{\mathbf{N}}\underline{\mathbf{W}}^*$ 

 $\mathbf{X} = \frac{1}{N} \mathbf{W}^* \mathbf{X}$  où  $\mathbf{W}^* = \left[ \mathbf{w}^{-\mathbf{n}\mathbf{k}} \right]$  matrice conjuguée de  $\mathbf{W}$ 

X = Wx

où  $W = |w^{nk}|$  matrice NxN symétrique

Transformée de Founer Discrète (TFD)

M. Toraczak - esia

#### Applications 4. || Propriétés de la TFD (suite)

On peut alors remarquer  $\sum_{\lambda=-m}^{-1} {w_N^{\lambda k} \, x(\lambda)} = \sum_{\lambda=N-m}^{N-1} {w_N^{(\lambda-N)k} \, x(\lambda-N)}$ 

Or, x(n) est théoriquement N-périodique, donc :

Et par ailleurs :  $\mathbf{w}_N^{(\lambda-N)k} = \mathbf{w}_N^{\lambda k} \cdot \mathbf{w}_N^{-Nk} = \mathbf{w}_N^{\lambda k}$  Donc, finalement :  $\sum_{\lambda=-m}^{-1} \mathbf{w}_N^{\lambda k} \mathbf{x}(\lambda) = \sum_{\lambda=N-m}^{N-1} \mathbf{w}_N^{\lambda k} \mathbf{x}(\lambda)$ D'où le résultat cherché:  $F_D[x(n-m)] = w_N^{mk} \left[ \sum_{\lambda=N-m}^{N-1} w_N^{\lambda k} x(\lambda) + \sum_{\lambda=0}^{N-m-1} w_N^{\lambda k} x(\lambda) \right] = w_N^{mk} X(k)$ 

Problème: en pratique, le signal n'est a priori pas N-périodique. Dans ce cas, la propriété reste vérifiée si l'on procède à une translation circulaire, ce qui consiste à translater le signal mais, en supposant qu'il est périodique et en gardant la même fenètre (on peut aussi parler de permutation circulaire).

Exemple: \( \Delta x(n-2) \)

Ax(n-2) **★**x(n-2)



Avec un tel décalage circulaire, on aura x(n-N)=x(n), même pour un signal non-périodique. D'où le résultat proposé précédemment :

$$F_{D}[x(n-m)_{N}] = w_{N}^{mk}X(k) \text{ où } x(n-m)_{N} = x((n-m) \mod N)$$

Ainsi, dans l'exemple précédent (N = 4):  $\mathbf{x}(\mathbf{n}-2)_4 \to \begin{cases} \mathbf{n} = 0 \ \mathbf{x}(-2)_4 = \mathbf{x}(2), \ \mathbf{n} = 1 \ \mathbf{x}(-1)_4 = \mathbf{x}(3) \\ \mathbf{n} = 2 \ \mathbf{x}(0)_4 = \mathbf{x}(0), \ \mathbf{n} = 3 \ \mathbf{x}(1)_4 = \mathbf{x}(1) \end{cases}$ 

#### l'ransformée de Fourier Discrète (IFD)

Applications (

|Propriétés de la TFD (suite)

61

On en tire:

Produit scalaire

 $\left| \langle \underline{\mathbf{x}}, \underline{\mathbf{y}}^* \rangle = \underline{\mathbf{x}}^T . \underline{\mathbf{y}}^* \right| = \frac{1}{N^2} \underline{\mathbf{X}}^T \underline{\mathbf{W}}^{*T} \underline{\mathbf{W}}^{*T} \underline{\mathbf{W}}^* = \frac{1}{N^2} \underline{\mathbf{X}}^T \underline{\mathbf{W}}^* \underline{\mathbf{W}}^* \underline{\mathbf{W}}^* (\underline{\mathbf{W}} \text{ symétrique})$ 

 $\text{Si } F_D[x(n)] = X(k) \text{ et } F_D[y(n)] = Y(k), \text{ on peut écrire}: \qquad \underline{x} = \frac{1}{N} \underline{W}^* \underline{X} \text{ et } \underline{y} = \frac{1}{N} \underline{W}^* \underline{Y}$ 

Conservation du produit scalaire et relation de Parseval

### Applications 4. │] Propriétés de la TFD (suite)

59

60

Par un raisonnement similaire, on peut établir :

Translation fréquentielle circulaire:  $F_D^{-1}[X(k-m)_N] = w_N^{-mn}x(n)$ 

Convolution circulaire:  $x(n) \underset{N}{\otimes} y(n) = \underset{m=0}{\overset{\Delta}{\sum}} x(m) y(n-m)_N = \underset{m=0}{\overset{N-1}{\sum}} y(m) x(n-m)_N$  $F_{D} \left| \begin{array}{c} N-1 \\ \sum_{m=0}^{N-1} x(m)y(n-m)_{N} \end{array} \right| = X(k).Y(k)$ 

En effet, d'après la propriété de translation temporelle circulaire :  $F_D[y(n-m)_N] = w_N^{mk}Y(k)$  Donc

$$F_D \left[ \sum_{m=0}^{N-1} x(m) y(n-m)_N \right] = \sum_{m=0}^{N-1} x(m) . \\ F_D \left[ y(n-m)_N \right] = \sum_{m=0}^{N-1} x(m) . \\ w_N^{mk} Y(k) = X(k) . \\ Y(k) = X$$

On obtient, d'une manière homologue :

$$\left[\frac{1}{N}F_D^{-1}\begin{bmatrix}N-1\\\sum X(m)Y(k-m)N\end{bmatrix} = x(n).y(n)$$

Transformée de Fourier Discrète (TFD)

M. Tomczak - esial

#### Applications | Propriétés de la TFD (fin)

62

Autres propriétés utiles (non démontrées)

(Si x(n) réel : 
$$X(-k) = X(-k)_N = X^*(k)$$

 $x(-n)_N \stackrel{\text{TFD}}{\longleftrightarrow} X(-k)_N$ 

 $x^*(n) \stackrel{TFD}{\longleftarrow} X^*(-k)_N$ Z

 $x^*(-n)_N \stackrel{TFD}{\longleftrightarrow} X^*(k)$ 

 $\overset{\sim}{\phi}_{xy}(m) \xleftarrow{TFD} \overset{\sim}{\phi}_{xy}(k) = X^*(k).Y(k)$ 

Corrélation circulaire :

où:  $\phi_{xy}(m) = \sum_{n=0}^{\infty} x^{*}(n)y(n+m)_{N}$ 

Ceci se démontre en utilisant la propriété précédente et le fait que :  $\mid \phi_{xy}(m) = x^*(-n) \overset{\otimes}{\otimes} y(n)$ 

Tansformée de Fourier Discrète (TFD)

ransformée de Fourier Discrète (TFD)

D'où, en particulier pour x(n) = y(n):

Relation de Parseval:

 $\sum_{n=0}^{N-1} |x(n)|^2 = \frac{1}{N} \sum_{k=0}^{N-1} |X(k)|^2$ 

Ceci s'écrit également :

 $\sum_{n=0}^{N-1} x(n)y^*(n) = \frac{1}{N} \sum_{k=0}^{N-1} X(k)Y^*(k)$ 

Donc:

Conservation du produit scalaire:

 $<\underline{x},\underline{y}^*>=\underline{x}^T.\underline{y}^*=\frac{1}{N^2}\underline{X}^TN\underline{I}\underline{Y}^*=\frac{1}{N}\underline{X}^T\underline{Y}^*$ 

Remarque : le même algorithme peut être utilisé pour calculer la TFD inverse.

$$X(k) = \sum_{n=0}^{N-1} x(n)w_N^{nk}$$
,  $k = 0,1,...,N-1$ .

multiplications réelles) et N - 1 additions complexes (soit 4N - 2 additions réelles). Pour les N valeurs calcul bestial de cette expression, pour une seule valeur de k, requiert N multiplications complexes (4N Dans le cas général  $(\mathsf{x}(\mathsf{n})$  complexe), et sans tenir compte des valeurs particulières prises par  $\mathsf{w}\mathsf{N}^{\mathsf{n}\mathsf{K}}$ , le

de k, cela fait au total  $N^2$  multiplications complexes et  $N^2$  - N additions complexes. périodicité du facteur de phase (twiddle factor) wn : Le calcul direct est inefficace dans le sens où il n'exploite pas les propriétés de symétrie et de

$$\mathbf{w_N^{k+N/2}} = -\mathbf{w_N^k} \; ; \; \mathbf{w_N^{k+N}} = \mathbf{w_N^k}$$

Exemple: Pour N=1024=210, on aura 5120 multiplications au lieu de 1.048.576, soit une diminution sans doute le plus courant. Comme son nom l'indique, il requiert un nombre N d'échantillons égal à une A titre d'exemple, on va considérer le cas de l'algorithme FFT Radix 2 à entrelacement temporel, qui es complexes et N  $\log_2$ N additions complexes, soit, si N =  $2^m$ , m.N/2 multiplications et m.N additions. puissance de 2, mais permet de réduire le nombre d'opérations à  $({
m N}/2).{
m log}_2{
m N}$  multiplications

### Applications (4. Transformée de Fourier Rapide

il faut N/2 multiplications complexes pour le calcul des produits par wnk. Le calcul direct de F(k) requiert  $(N/2)^2$  multiplications complexes. Il en va de même pour G(k). De plus,

Total: 
$$2\left(\frac{N}{2}\right)^2 + \frac{N}{2} = \frac{N^2 + N}{2}$$
 multiplications complexes (au lieu de  $N^2$ )

Si N=2m, on peut effectuer m fois ce processus. A l'étape suivante, on aura 4 TFD d'ordre N/4, soit correspond à des multiplications par 1). N2/4 + 2.N/2 multiplications complexes. Puis, N2/8 + 3.N/2, ..., jusqu'à m.N/2 (le terme N restant Bien sûr, on peut réitérer le processus précédent sur chaque TFD d'ordre N/2, et ainsi de suite.

Exemple : considérons le cas où N=8. Sous forme matricielle, on a :

$$\begin{bmatrix} \mathbf{X}_0 \\ \mathbf{X}_1 \\ \vdots \\ \mathbf{X}_7 \end{bmatrix} = \mathbf{\underline{W}} \begin{bmatrix} \mathbf{x}_0 \\ \mathbf{x}_1 \\ \vdots \\ \mathbf{x}_7 \end{bmatrix}$$

avec W de la forme

ransformée de Founer Discrète (TFD)

## Applications (4. |Transformée de Fourier Rapide

Principe de l'algorithme : Le signal x(n) est décomposé en 2 suites entrelacées x(2i) (termes pairs) et x(2i+1) (termes impairs).

On a slors: 
$$\begin{aligned} X(k) &= \sum_{i=0}^{N/2-1} x(2i)w_N^{k,2i} + \sum_{i=0}^{N/2-1} x(2i+1)w_N^{k(2i+1)}, \ k=0,\dots,N-1 \\ N/2-1 &= 0 \\ N/2-1 &= N/2-1 \\ \text{Comme } w_N^2 &= w_{N/2}: \ X(k) &= \sum_{i=0}^{N/2-1} x(2i)w_{N/2}^{k,i} + w_N^k \sum_{i=0}^{N/2-1} x(2i+1)w_{N/2}^{k,i}, \ k=0,\dots,N-1 \\ &= 0 \end{aligned}$$

Cette relation montre que le calcul de 
$$X(k)$$
 se décompose en 2 calculs de TFD d'ordre  $N/2$  (donc 2 séquences périodiques de période  $N/2$ ). En posant  $f(n) = x(2n)$  et  $g(n) = x(2n+1)$ ,  $n=0$ , 1,..., $N/2-1$ , il

$$\begin{split} X(k) &= \sum_{i=0}^{N/2-1} f(i) w_{N/2}^{ki} + w_{N}^{k} \sum_{i=0}^{N/2-1} g(i) w_{N/2}^{ki} = F(k) + w_{N}^{k} G(k), \ k = 0, 1, \dots, N-1 \\ \text{où}: f(n) &\leftarrow \frac{TFD}{N/2} \rightarrow F(k) \text{ et } g(n) \leftarrow \frac{TFD}{N/2} \rightarrow G(k) \end{split}$$

F(k) et G(k) étant N / 2 - périodiques :  $F(k+N\,/\,2) = F(k)$  et  $G(k+N\,/\,2) = G(k)$ 

Comme de plus,  $\mathbf{w}_N^{k+N/2} = -\mathbf{w}_N^k$ , la relation précédente s'écrit :

$$\begin{cases} X(k) = F(k) + w_N^k G(k) & k = 0, 1, ..., \frac{N}{2} - 1 \\ X(k + \frac{N}{2}) = F(k) - w_N^k G(k) & k = 0, 1, ..., \frac{N}{2} - 1 \end{cases}$$

Transformée de Fourier Discrète (TFD)

Applications ( Transformée de Fourier Rapide

66

On en tire Différence de signe devant les  $- X_2 = (x_0 + x_4) - (x_2 + x_6) + w^2(x_1 + x_5) - w^2(x_3 + x_7)$  $-X_0 = (x_0 + x_4) + (x_2 + x_6) + (x_1 + x_5) + (x_3 + x_7)$  $- X_1 = (x_0 - x_4) + w^2(x_2 - x_6) + w(x_1 - x_5) + w^3(x_3 - x_7)$ 

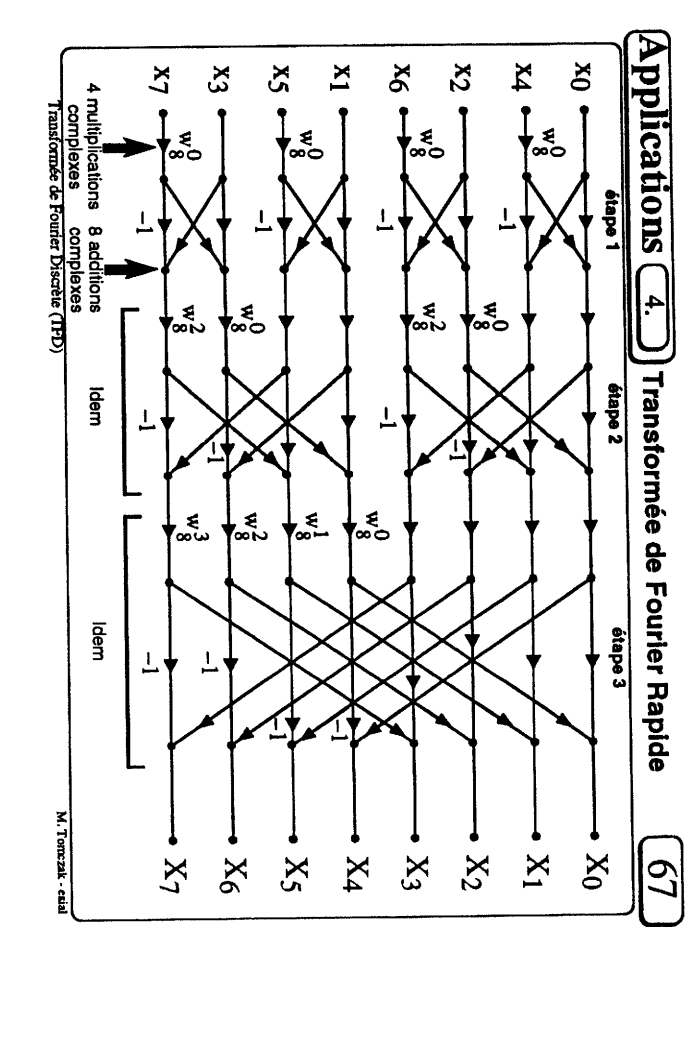
 $-X_4 = (x_0 + x_4) + (x_2 + x_6) - (x_1 + x_5) - (x_3 + x_7)$  $X_3 = (x_0 - x_4) - w^2(x_2 - x_6) + w^3(x_1 - x_5) + w(x_3 - x_7)$  $\begin{aligned} & X_6 = & \left( x_0 + x_4 \right) - \left( x_2 + x_6 \right) - w^2 \left( x_1 + x_5 \right) + w^2 \left( x_3 + x_7 \right) \\ & X_7 = & \left( x_0 - x_4 \right) - w^2 \left( x_2 - x_6 \right) - w^3 \left( x_1 - x_5 \right) - w \left( x_3 - x_7 \right) \end{aligned}$  $X_5 = (x_0 - x_4) + w^2(x_2 - x_6) - w(x_1 - x_5) - w^3(x_3 - x_7)$ 

impairs termes

Schématiquement, on va réaliser :

	×	¥	3	4 >	4	ò	<b>*</b>	:	4	ŏ	
étape 1	1702	TEDO		TFD2			TED2		1 0 0	TENO	
étape 2		de 2 TED2	combinaison	TFD4 par			de 2 TFD2	combinaison		TEO4 par	
étape 3				de 2 TFD4		combinaison	1700 201	TED 22			
	_	× <sub>7</sub>	\ &	72		₹ ;	×	×2		\$ \$	, t

Transformée de Fourier Discrète (TFD



### **Applications** Transformée de Fourier Rapide

80

Remarque : la cellule de base, appelée croisillon (ou buttertly, d'où le nom d'algorithme "papillon"), est de la forme :  $\rightarrow A = a + w_N^i b$ 1 multiplication complexe et 2 additions complexes

donc besoin de 2N registres (N nombres complexes). Remarque : les calculs sont faits "en place" (A et B peuvent être stockés à la place de a et b), on a Pour N=2m, il y a N/2 croisillons par étape et  $log_2(N)$  étapes.  $- B = a - w_N^i b$ 

manière binaire et en inversant l'ordre des bits. Exemple : N = 8Remarque : l'arrangement de la suite des entrées  $\mathbf{x}_n$  peut être obtenu immédiatement en codant  $\mathbf{n}$  de

25228 101010100

Remarques: - il existe aussi des algorithmes utilisant une décimation en fréquence.
- l'algorithme peut bien sûr être utilisé en TFD inverse.

Transformée de Fourier Discrète (TFD)